

BUNDESREPUBLIK DEUTSCHLAND



Bescheinigung

Die Herren Gerhard Weiglhofer in Weil/Deutschland,
Fritz Pauker in Friedberg/Deutschland und Dr. Rolf
Henkel in Bremen/Deutschland haben eine Patentanmeldung
unter der Bezeichnung

"3-D-Stereo-Echtzeit-Sensor-System"

am 11. November 1998 beim Deutschen Patent- und Markenamt
eingereicht und erklärt, daß sie dafür die Innere Priorität
der Anmeldung in der Bundesrepublik Deutschland vom
24. November 1997, Aktenzeichen 197 52 047.2, in Anspruch
nehmen.

Die angehefteten Stücke sind eine richtige und genaue Wieder-
gabe der ursprünglichen Unterlagen dieser Patentanmeldung.

Die Anmeldung hat im Deutschen Patent- und Markenamt vorläufig
das Symbol G 06 T und G 01 C der Internationalen Patentklassi-
fikation erhalten.

München, den 11. Januar 1999
Deutsches Patent- und Markenamt
Der Präsident
Im Auftrag

Vietleht

Aktenzeichen: 198 51 993.1



Tiedtke - Bühling - Kinne, POB 20 19 18, D - 80019 München

Patentanwälte / Vertreter beim EPA *

Dipl.-Ing. Harro Tiedtke *
Dipl.-Chem. Gerhard Bühling *
Dipl.-Ing. Reinhard Kinne *
Dipl.-Ing. Hans-Bernd Pellmann *
Dipl.-Ing. Klaus Grams *
Dipl.-Biol. Dr. Annette Link
Dipl.-Ing. Aurel Vollnhals *
Dipl.-Ing. Thomas J.A. Leson *
Dipl.-Ing. Hans-Ludwig Trösch *
Dipl.-Ing. Dr. Georgi Chivarov *
Dipl.-Ing. Matthias Grill *
Dipl.-Ing. Alexander Kühn *
Dipl.-Chem. Dr. Andreas Oser *
Dipl.-Ing. Rainer Böckelen *
Bavariaring 4, D-80336 München

11. November 1998

DE 22807

1. Gerhard Weiglhofer

86947 Schwabhausen/Weil / Deutschland

2. Fritz Pauker

86316 Friedberg / Deutschland

3. Dr. Rolf Henkel

28209 Bremen / Deutschland

„3D-Stereo-Echtzeit-Sensor-System“

Telefon: 089 - 544690
Telefax(G3): 089 - 532611
Telefax(G4): 089 - 5329095
postoffice@tbk-patent.com

Deutsche Bank (München) Kto. 286 1060 (BLZ 700 700 10)
Dresdner Bank (München) Kto. 3939 844 (BLZ 700 800 00)
Postbank (München) Kto. 670 - 43 - 804 (BLZ 700 100 80)
Dai-ichi-Kangyo Bank (München) Kto. 51 042 (BLZ 700 207 00)
Sanwa Bank (Düsseldorf) Kto. 500 047 (BLZ 301 307 00)

Beschreibung:

Die vorliegende Erfindung betrifft eine Bildverarbeitungs-
vorrichtung, insbesondere eine Vorrichtung zur stereosko-
5 pischen Bildverarbeitung, sowie einen dabei verwendeten Ko-
härenzdetektor.

Die optische Erfassung der dreidimensionalen Umgebung ge-
winnt seit geraumer Zeit zunehmend an Bedeutung. Insbeson-
10 dere bei automatisierten Fertigungsabläufen und den dabei
eingesetzten Robotern müssen neben zweidimensionalen Koor-
dinaten auch Tiefeninformationen hinsichtlich eines (zu be-
arbeitenden) Objektes zur Verfügung stehen, um beispiels-
weise einen Roboter entsprechend steuern zu können.

15

Im Rahmen der "Ident Vision" Messe 1996 in Stuttgart (DE)
wurde zum Beispiel ein Ganzkörperscanner vorgestellt, der
mittels einer Vielzahl von Lasern und Kameras die räumliche
Kontur eines Objekts erfassen kann. Jedoch ist dieses Sy-
20 stem für Echtzeit-Anwendungen ungeeignet.

Bislang bekannte Realisierungen zur Ermittlung von Tiefen-
informationen kann man in verschiedene Gruppen unterteilen,
die auf jeweils verschiedenen Verfahren beruhen.

25

Triangulationsverfahren verwenden eine oder mehrere Linien,
die entweder von einem Laser oder einer Projektionseinheit
auf das betreffende Objekt abgebildet werden. Mit einer
oder mehreren Kameras wird das Objekt anschließend unter
30 einem von der Projektionsrichtung geringfügig abweichenden,
anderen Blickwinkel aufgenommen. Beruhend auf den vorbe-

kannten geometrischen Verhältnissen erfolgt dann mittels trigonometrischer Berechnungen die Ermittlung der dreidimensionalen Struktur des Objektes.

- 5 Nachteilig bei diesen Verfahren ist jedoch, daß unter Umständen für jede projizierte Linie ein Bild auszuwerten ist, was äußerst zeitaufwendig ist, so daß ein derartiges System nicht echtzeittauglich ist.

- 10 Darüber hinaus ist es insbesondere nachteilig, daß das jeweilige Meßobjekt zu beleuchten ist. Dies stellt zwar unter Laborbedingungen kein Problem dar, wird aber in der Praxis fast unmöglich, wenn in Situationen wie im Straßenverkehr oder unter bei Teleskopen oder Mikroskopen vorliegenden er-
15 schwerten realen Situationen Messungen durchzuführen sind. Ferner sind bei als Linienlichtprojektoren verwendeten Lasern spezielle Unfallverhütungsvorschriften zu beachten, damit bei derartigen Meßaufbauten keine Gefahr für das menschliche Auge besteht.

20

Bei einem speziellen Triangulationsverfahren wird ein Farbfächer auf das betreffende Objekt projiziert. Die von einer Kamera aufgenommenen Farbwerte können dann eindeutig einem Objektpunkt zugeordnet werden, wobei die Verschiebung einzelner Farbpunkte wiederum als Tiefeninformation auswertbar
25 ist. Obwohl dieses Verfahren in Echtzeit arbeitet, bringt dieses Verfahren die einschränkende Forderung mit sich, daß das Objekt und der Hintergrund weiß sein müssen, so daß das Verfahren nicht universell einsetzbar ist.

30

Dagegen werten Laufzeitverfahren die Laufzeit von Licht, Mikrowellen oder eines Schallsignals als einem Meßsignal aus, um Rückschlüsse auf die räumliche Umgebung und die Tiefeninformation zu ziehen. Dabei wird jeweils eine Raum-

5 richtung angepeilt und eine Abstandsmessung vorgenommen. Beispielsweise beruhen das Prinzip eines Radargerätes oder eines medizinischen Ultraschallgerätes auf derartigen Laufzeitverfahren. Laufzeitverfahren erfordern jedoch eine aufwendige Signalverarbeitung und sind zudem von den Eigenschaften des umgebenden Mediums abhängig, das die Ausbreitungseigenschaften des betreffenden Meßsignals beeinflusst.

Weiterhin kommen Schärfentiefeverfahren zum Einsatz, die jedoch nur dann angewendet werden können, wenn die Objekt-

15 gröÙe und die Öffnung eines Objektivs in einem bestimmten Verhältnis zueinander stehen, wie beispielsweise in der Mikroskopie. Dabei wird durch das optische System nur der schmale Bereich der Fokalebene scharf auf einen Bildsensor abgebildet. Die Bereiche davor und dahinter sind mehr oder

20 weniger unfokussiert. Die in der Fokalebene enthaltene Bildinformation kann mit herkömmlichen Bildverarbeitungsverfahren ausgewertet werden. Eine entsprechende Auswertung liefert dann eine Höhenlinie des Objekts. Durch mehrfaches Verschieben der Fokalebene und anschließender Auswertung

25 kann dann eine Höhenlinienkarte des Objekts erstellt werden, was jedoch entsprechend aufwendig ist.

Ein weiterer Ansatz, der erst seit wenigen Jahren verfolgt wird, beruht in der Auswertung stereoskopischer Bilder zum

30 Gewinnen von Tiefeninformationen, ähnlich dem räumlichen

Sehen beim Menschen, dessen Nachbildung durch derartige Verfahren angestrebt ist.

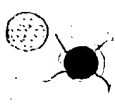
Das Phänomen des räumlichen Sehens, das nachfolgend kurz in Bezug auf den Menschen allgemein erläutert ist, beruht auf der Wahrnehmung der sichtbaren Umwelt mittels der beiden menschlichen Augen, wobei aufgrund des Augenabstandes die beiden wahrgenommenen Bilder (rechtes Auge bzw. Bild, linkes Auge bzw. Bild) unter leicht unterschiedlichen Blickwinkeln wahrgenommen werden. Da die Sehachsen der Augen etwas konvergieren, treffen sich ihre Sehachsen an einem Punkt der betrachteten Umwelt, wobei von einer Fixierung dieses Punktes durch die Augen gesprochen wird. Das Bild dieses Punktes fällt jeweils auf eine Sehgrube der Netzhaut. Jeder benachbarte Punkt im Gesichtsfeld wird dann auf eine Stelle der Netzhaut projiziert, die etwas vom Zentrum des schärfsten Sehens entfernt liegt. Im allgemeinen ist dieser Abstand in beiden Augen unterschiedlich, wobei der Abstand als Funktion der räumlichen Tiefe des betrachteten Punktes im Gesichtsfeld relativ zum Fixationspunkt variiert. Diese Abstandsabweichungen werden als binokulare Disparitäten bezeichnet, die nachfolgend kurz als "Disparitäten" bezeichnet sind.

Beim Stereosehen besteht das eigentliche Problem, neben der Auswertung der jeweils gegebenen trigonometrischen Gegebenheiten darin herauszufinden, welcher Bildpunkt der realen Welt bzw. des gesehenen Objekts, der im ersten der stereoskopischen Bilder auftritt, welchem Bildpunkt im zweiten der stereoskopischen Bilder entspricht. Anders ausgedrückt, gilt es in Bezug auf das menschliche Auge herauszufinden,

welcher Bildpunkt auf der linken Netzhaut welchem Bildpunkt auf der rechten Netzhaut entspricht.

5 Für das räumliche Sehen bzw. die 3D-Stereowahrnehmung ist es dann erforderlich, aus den Disparitäten auf die dreidimensionale Struktur des wahrgenommenen Bildes zurück zu schließen. Anders ausgedrückt, aus ermittelten Disparitäten kann auf die in dem wahrgenommenen Bild enthaltenen Tiefeninformationen geschlossen werden.


10



Bislang verfügbare Stereoverfahren sind jedoch auf leistungsfähige Arbeitsplatzrechner (PC's bzw. sogenannte "Workstations") angewiesen, wobei zur Ermittlung der gewünschten Tiefeninformationen aus einem einzigen Stereobildpaar, beispielsweise unter Verwendung eines handelsüblichen Arbeitsplatzrechners (mit einer Taktfrequenz von etwa 90 MHz), eine Zeit im Bereich von etwa 3 bis 5 Minuten erforderlich ist.

15

20



Versucht man jedoch, derartige Verfahren in spezielle Rechenwerke auszulagern, übersteigt der Entwicklungs- und Hardwareaufwand sehr schnell wirtschaftlich vertretbare Grenzen. Die Markteinführung derartiger Systeme scheiterte bislang also entweder an einer zu geringen Verarbeitungsgeschwindigkeit oder einem zu hohen Systempreis.

25

30

Stereoverfahren sind bestrebt, einander entsprechende Bildpunkte zwischen einem ersten (linken) und zweiten (rechten) Stereobild zu finden, wobei dann aus der relativen Verschiebung solcher Bildpunkte bei bekannter Kameraposition die Entfernung der Punkte berechnet werden kann.

Unter den vorstehend angesprochenen herkömmlichen rechnerimplementierbaren Stereoverfahren kann man im wesentlichen unterscheiden zwischen sogenannten merkmalsbasierten Stereoverfahren, intensitätsbasierten Stereoverfahren und phasenbasierten Stereoverfahren.

Bei merkmalsbasierten Stereoverfahren werden vor der Korrespondenz-Suche bestimmte Merkmale (z.B. Kanten oder Intensitätsmaxima) aus den Bilddaten extrahiert, die für stabiler als die rohen Bildintensitäten gehalten werden. Derartige Verfahren sind stabil, falls nur wenige stabile Merkmale (etwa Objektkanten) extrahiert werden. Sie sind auch schnell, da Bilder nur an den Orten weiterverarbeitet werden müssen, an denen Merkmale erfaßt wurden. Dies führt zu einer merklichen Datenreduktion.

Jedoch können dadurch Disparitäten nur an den Stellen berechnet werden, an denen die gewählten Merkmale erfaßt wurden. An allen weiteren Stellen des Bildes muß interpoliert werden, was zusätzlich zeitaufwendige Rechengvorgänge notwendig macht. Je dichter die Merkmale liegen, desto schwieriger wird es, diese einander zuzuordnen. Die endgültige Zuordnung kann nur anhand komplizierter einzusetzender Verfahren getroffen werden, was zu einer verminderten Verarbeitungsgeschwindigkeit führt.

Die Druckschrift WO 94/18797 A1 beschreibt beispielsweise ein derartiges merkmalsbasiertes Verfahren sowie eine entsprechende Vorrichtung.

Intensitätsbasierte Stereoverfahren arbeiten direkt mit den seitens der Stereokameras bzw. der Bildaufnehmer gelieferten Bildhelligkeiten. Daher sind zur Zuordnung einander entsprechender Helligkeiten sehr stabile Algorithmen einzusetzen, die entsprechend viel Rechenzeit erfordern. Unter den intensitätsbasierten Verfahren kann weiter unterschieden werden zwischen korrelationsbasierten Verfahren und Verfahren mittels dynamischer Programmierung.

- 10 Erstere sind bestrebt, einen kleinen Bildbereich des linken Bildes in dem rechten Bild wiederzufinden. Dazu werden üblicherweise Verfahren zur Maximierung der Korrelation oder Minimierung der Differenz eingesetzt. Falls die Bildausschnitte groß genug gewählt sind, erzielt man mit diesen
- 15 Verfahren stabile und dichte Disparitätskarten, wobei eine Echtzeitverarbeitung unter Einsatz spezieller aufwendiger Hardware denkbar ist. Die rohen Disparitätskarten enthalten typischerweise jedoch nur Verschiebungen im Bereich der Genauigkeit eines Bildelements (Pixel), so daß die Auflösung
- 20 begrenzt ist. Nur durch Einsatz von Interpolationsverfahren oder aber iterativen Verfahren kann die Genauigkeit der Disparitäten jedoch auf subpixelgenaue Disparitäten verbessert werden.
- 25 Derartige korrelationsbasierte Verfahren sind zum Beispiel in der Druckschrift DE 34 25 946 A1 sowie dem Artikel "A stereovision system for a planetary rover: calibration, correlation, registration, and fusion" von Z. Zhang, in: Machine Vision and Applications, Nr. 10, 1997, S.27-34 beschrieben.
- 30

Bei Verfahren mittels dynamischer Programmierung wird versucht, lokal die Differenz zu minimieren, wobei diese lokale Minimierung dann anhand geeigneter Verfahren auf das gesamte Bild ausgedehnt wird. Typischerweise berechnen auch
5 diese Verfahren Disparitäten nur auf ein Bildelement genau, was für zahlreiche Anwendungen jedoch zu ungenau ist.

Zusammenfassend ist festzustellen, daß intensitätsbasierte Verfahren zwar eine dichte Disparitätskarte (einen Disparitätswert für fast jeden Bildpunkt) liefern, die Minimierung
10 des Fehlermaßes wie bei dem Verfahren der Minimierung der Differenz jedoch zeitaufwendig ist und daher nicht für Echtzeitanwendungen geeignet ist. Die Reduzierung der erforderlichen Rechenzeit kann durch Einsatz hierarchischer
15 Verfahren reduziert werden, dies jedoch nur durch Einsatz komplizierter und nicht parallelisierbarer algorithmischer Strukturen, für die eine Hardwarelösung zumindest äußerst aufwendig und somit kostenintensiv wird.

Des weiteren sind phasenbasierte Stereoverfahren Gegenstand aktueller Untersuchungen. Diese Verfahren extrahieren aus den rohen Bilddaten eine lokale Fourier-Phase (meist durch Filterung mittels Gabor-Funktionen), und versuchen dann, entweder, diese Fourier-Phasenbilder (für das rechte bzw.
20 linke Bild) (so z. B. beschrieben von Weng) in Übereinstimmung zu bringen, oder über die Anwendung des Fourier'schen-Verschiebungstheorems die lokale Verschiebung zu berechnen (so z. B. beschrieben von Sanger, Fleet & Jepson). Die Extraktion der lokalen Fourier-Phase entspricht dabei effektiv
25 einem lokalen Kontrast-Ausgleich, wodurch viele durch Helligkeitsschwankungen verursachte Fehler anderer Stereo-
30

verfahren reduziert werden. Diese phasenbasierten Stereo-
verfahren arbeiten subpixel-genau und sind auch für Echt-
zeitanwendungen implementierbar. Jedoch müssen zur Erzeu-
gung dichter Disparitätskarten hierarchische Verfahren ein-
5 gesetzt werden, die zur Fehlervermeidung meist spezielle
Ausnahmesituationen abfangen müssen (vgl. Fleet). Dies
macht die verwendeten Algorithmen kompliziert und eine
Hardwarerealisierung aufwendig und kostenintensiv.

10 Es ist folglich Aufgabe der vorliegenden Erfindung, eine
Bildverarbeitungsvorrichtung anzugeben, mit der stereosko-
pische Bilder in Echtzeit verarbeitet werden können, und
die mit einfachen Mitteln und geringem Aufwand zu realisie-
ren ist. Es ist ferner Aufgabe der vorliegenden Erfindung
15 einen dabei zum Einsatz gelangenden Kohärenzdetektor anzu-
geben.

Erfindungsgemäß wird diese Aufgabe gelöst durch einen Kohä-
renzdetektor mit einer Vielzahl von n Signaleingängen, an
20 denen ein jeweiliger Eingangssignalwert anliegt, einer er-
sten Sortiereinrichtung zum Sortieren der n zugeführten
Eingangssignalwerte entsprechend ihrem Wert und zur paral-
lelen Ausgabe der n sortierten Werte, einer Vielzahl von
 $n-1$ Subtrahiereinrichtungen zur Subtraktion von jeweils
25 zwei benachbarten sortierten Werten, einer zweiten Sor-
tiereinrichtung zum Sortieren der erhaltenen $n-1$ Differen-
zen hinsichtlich ihres Betrages und zur Ausgabe des klein-
sten Differenzbetrags, einer Auswahleinrichtung, die anhand
des ermittelten kleinsten Differenzbetrags das diesem zuge-
30 hörige Wertepaar der Eingangssignalwerte ausgibt, und

einer Ausgabeeinrichtung, der das ausgegebene Wertepaar zugeführt wird und die dessen Mittelwert ausgibt.

Alternativ wird diese Aufgabe gelöst durch einen Kohärenzdetektor mit einer Vielzahl von n Signaleingängen, an denen

5 ein jeweiliger Eingangssignalwert anliegt, einer Fensterbegrenzungseinrichtung zur Ausgabe derjenigen der n Eingangssignale, deren Eingangssignalwert innerhalb eines voreingestellten, endlichen Fenster-Wertebereichs $[-x, \dots, 0, \dots, +x]$ mit $m+1$ Werten im Abstand von $2x/m$ liegt, einer

10 Rundungseinrichtung zur Rundung der seitens der Fensterbegrenzungseinrichtung ausgegebenen Werte auf den jeweils nächstliegenden der $m+1$ Werte des voreingestellten Fenster-Wertebereichs, einer Adressierungs-Ansteuerungseinrichtung, und einer Faltungseinrichtung, wobei die Faltungseinrichtung

15 eine der Anzahl von Werten des Fenster-Wertebereichs entsprechende Vielzahl von $m+1$ Signaleingängen hat, und dem jeweiligen k -ten Eingang durch die Adressierungs-Ansteuerungseinrichtung diejenigen der n Signale zugeführt werden, deren Wert $-x + (k-1) \cdot 2x/m$ beträgt, welche somit ein

20 entsprechendes k -tes von $m+1$ Strahlungsemissionselementen ansteuern, wobei die so zur Emission gelangte Strahlung von einer der Anzahl von Werten des Fenster-Wertebereichs entsprechenden Vielzahl von $m+1$ Strahlungsempfangelementen erfaßt wird, und einer Auswerteeinrichtung, die die Adresse

25 k desjenigen der $m+1$ Strahlungsempfangelemente ermittelt, das die größte Strahlungsintensität erfaßt, und den Wert k dieser Adresse an einem Ausgangsanschluß abgibt, wobei der ausgegebene Wert das Ergebnis der Faltung der der Faltungseinrichtung zugeführten Signale darstellt.

Ferner wird die Aufgabe gelöst durch eine Bildverarbeitungsvorrichtung mit Verschiebe-Einrichtungen zur gegenseitigen Verschiebung von diesen jeweils zugeführten Bilddaten eines ersten Bildes und eines zu diesem unter einem anderen
5 Aufnahmewinkel aufgenommenen zweiten Bildes, wobei die Bilddaten an den Verschiebe-Einrichtungen jeweils parallel abgegriffen werden und paarweise einer nachfolgenden Disparitäts-Detektionseinrichtung zugeführt werden; wobei die Disparitäts-Detektionseinrichtung für jedes der zugeführten
10 Bilddatenpaare mittels eines jeweiligen Disparitäts-Elementes einen räumliche Tiefeninformationen für das jeweilige Bilddatenpaar darstellenden Disparitätswert ermittelt, und die ermittelten Disparitätswerte einer Kohärenz-Detektionseinrichtung zuführt, wobei der ausgegebene Disparitätswert auf jede Verschiebung der Bilddaten hin ermittelt wird und die zugehörige räumliche Tiefeninformation darstellt.

Durch diesen erfindungsgemäßen Aufbau können die zugeführten Bildsignale mit der Geschwindigkeit verarbeitet werden,
20 wie sie von Bildaufnehmern geliefert werden. Somit ist die Bilddatenverarbeitung zur Gewinnung von Tiefeninformationen mit geringem Aufwand und in Echtzeit möglich.

Diese hohe Verarbeitungsgeschwindigkeit (Echtzeit) des Systems ist ein wesentlicher Vorteil gegenüber dem Stand der Technik. Mit einer Bildrate von beispielsweise 25 Bildern pro Sekunde, die dem System seitens der Bildaufnehmer zugeführt werden und von diesem in Echtzeit verarbeitet werden,
30 ist das System bzw. das mit diesem implementierte Verfahren den aus dem Stand der Technik bekannten Anordnungen bzw.

Verfahren zumindest um einen Geschwindigkeitsfaktor von 100 überlegen.

5 Weiterhin ist das zu messende Volumen des Meßobjekts gegenüber bekannten Systemen nicht mehr begrenzt. Insbesondere ist der Meßbereich der erfindungsgemäßen Bildverarbeitungsvorrichtung nur durch die Begrenzung der verwendeten abbildenden Optik bestimmt, und alle optischen Vorsatzgeräte wie Mikroskope, Tele- oder Weitwinkelobjektive können in
10 Verbindung mit den Bildaufnehmern eingesetzt werden, sofern sie an diese angepaßt sind. Insbesondere ist es mit dem erfindungsgemäßen System möglich, ein Meßobjekt ohne Markierungshilfen auszuwerten, die bei Systemen gemäß dem Stand der Technik häufig erforderlich sind.

15

Durch die Möglichkeit, ein Meßobjekt ohne Markierungshilfen auszuwerten entfällt weiterhin die Notwendigkeit eine dafür notwendige Projektionseinheit vorzusehen. Folglich wird die erfindungsgemäße Vorrichtung kompakter und leichter, wobei
20 sich die Handhabung erleichtert und sich vielseitigere Einsatzmöglichkeiten ergeben.

25

Zudem entfällt bei der erfindungsgemäßen Vorrichtung auch eine Vorbehandlung des Meßobjekts selbst, beispielsweise
25 ein Abdecken des Meßobjekts mit hellem Puder zur Beseitigung von Spiegelungen und Glanzlichtern auf der Objektoberfläche vor der Messung und Beseitigung des Puders nach erfolgter Messung. Durch die Einsparung derartiger Arbeitsgänge arbeitet die erfindungsgemäße Vorrichtung zeit- und
30 kostengünstiger.

Zudem ist es mit der erfindungsgemäßen Vorrichtung vorteil-
hafterweise möglich, beliebige Bildsignalquellen anzu-
schließen. Das heißt, die erfindungsgemäße Vorrichtung ist
nicht auf den Bereich sichtbaren Lichts beschränkt, sondern
5 die Auswertung kann beispielsweise auch für Bildsignale im
Infrarotbereich erfolgen.

Mit den erfindungsgemäßen Kohärenzdetektoren ist es insbe-
sondere möglich, aus einer Vielzahl von Eingangssignalen
10 diejenigen Signale in Echtzeit zu ermitteln, deren Werte
einander am ähnlichsten sind, und diesen "ähnlichsten" Wert
dann weiter zu verarbeiten.

Vorteilhafte Weiterbildungen der Erfindung sind in den Un-
15 teransprüchen angegeben.

Die vorliegende Erfindung ist nachstehend anhand von Aus-
führungsbeispielen mit Bezug auf die beigefügte Zeichnung
näher beschrieben. Dabei zeigen:

20

Fig. 1A ein allgemeines Blockschaltbild des erfindungsgemä-
ßen Systems;

Fig. 1B eine schematische Darstellung einer stereoskopi-
schen Bilderfassung zur Erläuterung und Begriffsdefinition;

25

Fig. 2 ein Blockschaltbild, das Bildsignal-Verschiebe-
einrichtungen und Disparitätsbestimmungseinrichtungen be-
treffende Einzelheiten zeigt;

30

Fig. 3A ein Funktionsschaltbild eines einzelnen gradienten-
basierten bzw. differentiellen Disparitätselements;

Fig. 3B ein Blockschaltbild zur Hardwarerealisierung des gemäß Fig. 3A funktional beschriebenen einzelnen Disparitätselements.

5 Fig. 4A ein Blockschaltbild eines ersten Ausführungsbeispiels eines Kohärenzdetektors;

Fig. 4B eine schematische Darstellung einer Ausführungsvariante eines Kohärenzdetektors;

10 Fig. 4C eine zweites Ausführungsbeispiel eines Kohärenzdetektors, dessen Funktionsweise auf dem Faltungsprinzip beruht;

Fig. 4D Einzelheiten der Realisierung der Faltungseinrichtung bei dem in Fig. 4C dargestellten Kohärenzdetektor;

15 Fig. 5 ein Diagramm, das für alle Bildelemente einer Bildzeile die von verschiedenen Disparitätselementen ermittelten Disparitäten darstellt, aus denen dann mittels eines Kohärenzdetektors in Echtzeit die tatsächliche bzw. wahre Disparität im Verlauf der Bildzeile bestimmt wird.

20 Fig. 6 ein Beispiel zweier als Bildsignalstrom zugeführter Bilder eines ersten und zweiten (bzw. linken und rechten) Bildaufnehmers, sowie eine Darstellung der mit der erfindungsgemäßen Vorrichtung ermittelten Tiefeninformation in Form einer sogenannten Disparitätskarte.

25 Fig. 1A stellt die erfindungsgemäße stereoskopische Bildverarbeitungsvorrichtung zur Erfassung dreidimensionaler Objekte in Echtzeit schematisch als Blockschaltbild dar.

30 Die Bildverarbeitungsvorrichtung weist einen Sensorkopf auf, der zwei Bildaufnehmer umfaßt, einen Bildaufnehmer

CCDL für das (erste) linke Bild und einen Bildaufnehmer
CCDR für das (zweite) rechte Bild. Eines dieser Bilder wird
dabei für die nachfolgende Verarbeitung als Referenzbild
definiert. Das heißt, daß ermittelte Disparitätsergebnisse
5 zur Erstellung einer Disparitätskarte den Bilddaten des Re-
ferenzbildes zugeordnet werden.

Bei den Bildaufnehmern kann es sich beispielsweise um ein
Kamerapaar mit CCD-Bildaufnehmern handeln, die in einem
10 vorbestimmten bekannten Abstand d voneinander angeordnet
sind und daher leicht unterschiedliche Bilder des selben
Objektes aufnehmen (vgl. Fig. 1B und Fig. 6). Insbesondere
können die Bildaufnehmer Bewegtbilder aufnehmen und diese
der Vorrichtung zur nachfolgenden Echtzeitverarbeitung zu-
15 führen. Mittels einer Bildaufnehmer-Synchronisationsein-
richtung SYNC werden die Aufnahmen der Bildaufnehmerein-
richtungen CCDL, CC DR zeitlich synchronisiert, so daß das
linke und das rechte Bild synchron zueinander aufgenommen
werden.

20 Je nach Entfernung des Objekts von den Bildaufnehmern bzw.
Kameras weisen die aufgenommenen Bildpunkte leichte - als
Disparitäten bezeichnete - Verschiebungen auf. Das heißt,
daß das selbe Objekt an verschiedenen Stellen im ersten
25 bzw. zweiten Bild erscheint.

Mittels einer nachfolgend als Disparitätsdetektor DD be-
zeichneten Einrichtung und einer als Disparitäts-Kohärenz-
detektor KD bezeichneten Einrichtung (die beide nachfolgend
30 noch ausführlich beschrieben sind) können die tatsächlichen
Disparitäten bzw. Verschiebungen ermittelt werden und dann

durch trigonometrische Berechnungen unter Berücksichtigung des bekannten Abstandes d zwischen den Bildaufnehmern CCDL, CCDR die räumliche Entfernung des jeweiligen Objekts berechnet werden, somit die gesuchten Tiefeninformationen erhalten werden.

Die so aus zwei Stereo-Bewegtbildern berechnete Tiefeninformation kann quasi verzögerungsfrei in Echtzeit als Videosignal ausgegeben werden und als dritte Dimension (z. B. drittes Bild) als Grauwertbild oder Farbbild dargestellt werden. Dabei ist die Echtzeitverarbeitung des Systems insbesondere durch die serielle Verarbeitung der durch die Bildaufnehmer CCDL, CCDR gelieferten Bilddaten bedingt.

Mit der Bildaufnehmer-Synchronisationseinrichtung SYNC verbunden ist ein Taktgenerator CLK, der Taktsignale zur Steuerung und Synchronisation weiterer Komponenten des Systems erzeugt.

Die aufgenommenen Bildsignale werden von den Bildaufnehmern CCDL, CCDR diesen jeweils zugeordneten Vorverarbeitungseinrichtungen VVL, VVR zugeführt. In diesen Vorverarbeitungseinrichtungen VVL, VVR erfolgt ein Helligkeitsausgleich der beiden Stereobilder vor der nachfolgenden Verarbeitung.

Diese Helligkeitsvorverarbeitung ist vorteilhaft, da aufgrund leicht unterschiedlicher Bildaufnahmewinkel der Bildaufnehmer CCDL, CCDR sogenannte Glanzlichter und Reflexionen an (spiegelnden) Oberflächen der aufgenommenen Objekte auftreten können, die bei der nachfolgenden Verarbeitung der Bilddaten zur Erfassung der Disparitäten zu Fehlern

führen können, so daß die Disparitätswerte instabil werden könnten.

Für den Fall der Verarbeitung von Farbbildern kann im Rahmen der Vorverarbeitung durch die Vorverarbeitungseinrichtungen eine Zerlegung der jeweiligen (ersten und zweiten) Farbilddaten in jeweilige Farbbildkomponenten (z. B. in die Primärfarben Rot, Grün, Blau (RGB) oder aber in die Luminanz- und die beiden Farbdifferenzkomponenten) erfolgen. Zudem ist es auch möglich, die ersten und zweiten Bilddaten unterschiedlichen Vorverarbeitungen zu unterziehen.

Nach erfolgter Vorverarbeitung der Bilddaten seitens der Vorverarbeitungseinrichtungen VVL, VVR werden die Bilddaten des ersten und zweiten (bzw. linken und rechten) Bildes jeweils Einrichtungen VSEL, VSER zur gegenseitigen Verschiebung der linken und rechten Bilddaten in Bezug aufeinander zugeführt. Genauer heißt das, daß jeweils zwei Verschiebeeinrichtungen VSEL, VSER eine Verschiebeeinheit bilden, wobei dabei je ein Verschiebestrom von Bilddaten nach "rechts" und nach "links" pro Verschiebeeinheit vorliegt. Eine Verschiebeeinheit ist dabei je nach Anwendungsfall für jede Art von Bilddaten vorzusehen. Das heißt, im Fall einer Vorverarbeitung durch Zerlegung in die Primärfarben R, G und B können drei Verschiebeeinheiten vorgesehen sein, und zwar je eine für jede Primärfarbe.

Die Disparitäten derart zueinander verschobener Bilddaten werden dann für jeweilige Bilddatenpaare durch den Disparitätsdetektor DD ermittelt und ein jeweiliger Satz erhalte-

ner Disparitätswerte für die Bilddatenpaare wird durch den Disparitäts-Kohärenzdetektor KD ausgewertet.

5 Diese Kohärenzdetektion bezüglich der erhaltenen Disparitäten beruht auf der Auswahl bzw. Ermittlung desjenigen der erhaltenen Disparitätswerte, der annähernd identisch mit
10 zumindest einem weiteren der erhaltenen Disparitätswerte ist. Anders ausgedrückt wird der Disparitätswert als der eigentliche bzw. wahre Disparitätswert ermittelt, der in etwa identisch zu zumindest einem weiteren Disparitätswert (d.h. in einem vorbestimmten Intervall um diesen liegt) oder identisch mit zumindest einem weiteren Disparitätswert ist. Alternativ kann derjenige Disparitätswert als eigentlicher Disparitätswert ermittelt werden, der das Faltungsergebnis der erhaltenen Disparitätswerte darstellt. Fig. 5
15 veranschaulicht dieses Prinzipien anhand von Daten von beispielsweise sieben Disparitätselementen eines Disparitätsdetektors.

20 Die seitens des Disparitäts-Kohärenzdetektors KD derart ermittelten eigentlichen Disparitätswerte werden dann von diesem an eine Einrichtung NB zur Bilddatennachbearbeitung ausgegeben. Diese Einrichtung NB bereitet die Disparitätswerte so auf, daß diese über einen Ausgangsanschluß DV einer
25 wahlweise anzuschließenden Ausgabevorrichtung wie zum Beispiel einer (nicht dargestellten) Anzeigeeinrichtung zugeführt werden können und von dieser als Grauwert- oder Farbbild wiedergegeben werden. Zur besseren Darstellbarkeit der Disparitätswerte erfolgt im Rahmen der Bilddatennachbearbeitung auch eine Beseitigung auftretender Randeffekte
30 sowie eine virtuelle Begrenzung.

In der Figur selbst nicht dargestellt ist eine externe Bedieneinheit zur Konfiguration des Systems, die durch einen Arbeitsplatzrechner mit geeigneter Schnittstelle zu dem System implementiert sein kann.

Fig. 1B zeigt erläuternd schematisch das Prinzip einer stereoskopischen Bilderfassung. Mit CCDL, CC DR sind die in einem Abstand d voneinander angeordneten Bildaufnehmer bezeichnet, auf deren jeweiligem lichtempfindlichen Erfassungsabschnitt ein abzubildendes Objekt bzw. abzubildender Punkt P_1 , P_2 über ein vorgeschaltetes Objektiv abgebildet wird. Der Abstand d ist dabei als der Abstand zwischen den optischen Achsen der Objektive definiert, die als vertikal verlaufende strichpunktierte Linien eingezeichnet sind. Der Punkt P_2 ist dabei in Richtung der optischen Achse weiter entfernt als der Punkt P_1 .

Wie der schematischen Darstellung zu entnehmen ist, sind die Abbildungen der Punkte P_1 , P_2 auf den Erfassungsabschnitten der Bildaufnehmer in Abhängigkeit der Entfernung unterschiedlich. Unter der Annahme, daß die Bildaufnehmer jeweils aus einer gewissen Anzahl von Bildelementen bestehen, ist der Punkt P_1 beim Bildaufnehmer CCDL an einem Bildelement j abgebildet, während der Punkt P_1 beim Bildaufnehmer CC DR an einem Bildelement $j+y$ abgebildet ist. Die Bildelemente j und $j+y$ entsprechen sich somit hinsichtlich ihres Informationsgehalts. Aufgrund dieser Verschiebung (Disparität) y kann aus den vorliegenden trigonometrischen Verhältnissen auf die Entfernung des Punktes P_1 geschlossen werden. Die Entfernung des Punktes P_1 sei nun als Bezugs-

entfernung definiert, was als Grundmeßbereich der Vorrichtung angesehen werden kann. Dann liegt der Punkt P1 in einer als Fixationsebene definierten Referenzebene, für die eine (relative) Disparität von Null angenommen sei. Anders
5 ausgedrückt, ist die ermittelte Disparität auf die Fixationsebene bezogen. Durch die geeignete Auswahl einer Vorverschiebung (z.B. y1, oder y2) zwischen den auszuwertenden ersten und zweiten Bilddaten kann somit die Fixationsebene bestimmt und der Grundmeßbereich festgelegt werden. Das
10 heißt, bevor die Bilddaten des ersten und zweiten Bildes den Verschiebe-Einrichtungen VSEL, VSER zugeführt werden, werden sie bereits in Bezug aufeinander um den Vorverschiebungsbetrag (z.B. y2) verschoben.

- 15 Die Fixationsebene in einem Intervall von Disparitätswerten $[-x \dots, 0, \dots, +x]$ umgebend liegt der sogenannte Fusionsbereich. Der Fusionsbereich entspricht dabei einem "Schärfentiefebereich". Die (relativen) Disparitätswerte im Fusionsbereich werden aufgrund der seitens der Verschiebe-
20 Einrichtungen VSEL, VSER zusätzlich bedingten Verschiebung der Bilddaten ermittelt. Je größer die zusätzliche Verschiebung ist, die ausgewertet wird, desto größer ist der Fusionsbereich und somit der "Schärfentiefebereich" um die Fixationsebene. Die zusätzlich erreichbare Verschiebung
25 steht dabei sowohl in Zusammenhang mit der Anzahl n von nachstehend beschriebenen Verschiebe-Elementen der Verschiebe-Einrichtungen, als auch der Art deren Ansteuerung.

Fig. 2 der Zeichnung zeigt nunmehr Einzelheiten der Bilddaten-Verschiebeeinrichtung VSEL für Bilddaten des (ersten)
30 linken Bildes, der Bilddaten-Verschiebeeinrichtung VSER für

Bilddaten des (zweiten) rechten Bildes, die zusammen eine Verschiebeeinheit bilden, und des Disparitätsdetektors DD als Disparitätsbestimmungseinrichtung. Dabei sind die Komponenten gemäß Fig. 2 nicht auf eine bestimmte Implementierung in analoger oder digitaler Technik festgelegt und ihre Beschreibung erfolgt zunächst in allgemeiner Form, unabhängig von der tatsächlichen Realisierungsform.

Die von den jeweiligen Vorverarbeitungseinrichtungen VVL, VVR ausgegebenen Bilddaten werden den Bilddaten-Verschiebeeinrichtungen VSEL, VSER zugeführt. Diese Zufuhr erfolgt, wie vorstehend bereits erwähnt, mit einer Vorverschiebung entsprechend dem gewünschten Grundmeßbereich. Im gezeigten Fall ist dabei zur Vereinfachung der Darstellung nur eine Verschiebeeinheit für eine Art von Bilddaten, beispielsweise für eine der Primärfarben R, G, B dargestellt.

Dabei werden die jeweiligen Bilddaten diesen Verschiebeeinrichtungen der Verschiebeeinheit jeweils seriell und synchron zueinander zugeführt. Jede der Verschiebeeinrichtungen VSEL, VSER besteht aus einer Vielzahl von Verschiebeelementen ΔX_{L1} bis ΔX_{Ln} bzw. ΔX_{R1} bis ΔX_{Rn} . Diese Elemente bewirken jeweils eine zusätzliche Verschiebung der zugeführten Bildelemente um eine kleine Strecke in x-Richtung, d.h. in Richtung der Hauptabtastrichtung bei zeilenweise abtastenden Bildaufnehmern. (Fig. 2 zeigt einen Fall für $n=7$.)

Beginnend mit dem jeweils ersten (jedoch unter Berücksichtigung der Vorverschiebung) Bildelement der seriellen Bilddatenströme des linken bzw. rechten Bildes (z.B. Bildele-

ment der oberen linken Ecke des jeweiligen Bildes) werden die Bildelemente (Pixel) gegeneinander verschoben. Die Auswertung der Bildelemente hinsichtlich der vorhandenen Disparität erfolgt dann jeweils paarweise. Genauer erfolgt eine paarweise Auswertung hinsichtlich der Disparität beruhend auf den verschobenen Bilddaten für Paare $(\Delta X_{L1}, \Delta X_{Rn})$, $(\Delta X_{L2}, \Delta X_{Rn-1})$, ..., $(\Delta X_{Ln-1}, \Delta X_{R2})$, $(\Delta X_{Ln}, \Delta X_{R1})$. Der Betrag ΔX der Verschiebung kann auf einen Wert eingestellt werden, der der Länge eines Bildelements entspricht. Falls eine höhere Zuverlässigkeit ("Stabilität" des implementierten Verfahrens), mithin Genauigkeit gewünscht ist, kann diese Verschiebung jedoch auch auf einen Wert eingestellt werden, der kleiner als die Länge eines Bildelements ist, beispielsweise auf die halbe Länge eines Bildelements (Pixels). Dies bedingt jedoch eine höhere Anzahl von nachfolgend beschriebenen Elementen des Disparitäts-Detektors, wenn der Fusionsbereich konstant bleiben soll.

Im Fall von als Analogschaltung realisierten Verschiebeeinrichtungen VSEL, VSER bestehen diese jeweils aus einer Kette bzw. Kaskade von Laufzeitgliedern (Verzögerungsgliedern) mit entsprechenden Signalabgriffen. Der Verschiebungsbetrag in x-Richtung entspricht dann der Laufzeit und kann bildelementweise oder in Bruchteilen von Bildelementen gewählt sein.

Im Fall von als Digitalschaltung realisierten Verschiebeeinrichtungen VSEL, VSER besteht die jeweilige Einheit aus in Reihe geschalteten Schieberegistern, denen ein entsprechendes Taktsignal von dem Taktgenerator CLK (ggfs. über einen zwischengeschalteten (nicht dargestellten) Fre-

quenzteiler) zuzuführen ist. Dann ist es jedoch zuvor erforderlich, die analogen Bilddaten mittels eines Analog/Digital-Wandlers in digitale Bilddaten umzuwandeln. Ein derartiger Analog/Digital-Wandler kann vor oder nach der
5 jeweiligen Vorverarbeitungseinrichtung VVL, VVR im Signalverlauf vorgesehen sein, je nachdem, ob die Vorverarbeitung noch analog oder schon digital erfolgt.

Im Fall der digitalen Schieberegister erfolgt die Ansteuerung der Verschiebeelemente ΔX_{Li} , ΔX_{Ri} der jeweiligen Verschiebeeinrichtung zur bildelementweisen Verschiebung jeweils entsprechend dem Takt, mit dem die digitalen Bilddaten zugeführt werden. Ist Subpixel-Genauigkeit erforderlich, so sind die bereits digitalisierten Daten einem speziellen Filter zuzuführen. Zum Beispiel wird eine einem
15 halben Bildelement entsprechende Verschiebung erreicht, indem man zwei aufeinanderfolgende Bildelemente mittels eines entsprechenden Filters einer Mittelwertbildung unterzieht und den erhaltenen Wert als Signalwert des Bildelements an
20 der um ein halbes Bildelement verschobenen Position annimmt. Eine derartige Filterung entspricht dann im wesentlichen einer Ditherung benachbarter Bildelemente.

Die Ansteuerung kann dabei für beide Verschiebeeinrichtungen VSEL, VSER gleichzeitig erfolgen, oder aber auch gegenphasig erfolgen, je nachdem, welcher zusätzliche Verschiebungsbereich ("Schärfentiefebereich") gewünscht ist. Auf das dargestellte Beispiel von Fig. 2 mit $n=7$ bezogen heißt das, daß bei gleichzeitiger Ansteuerung jeweils Bilddatenpaare vergleichend ausgewertet werden, die um ± 6 , ± 4 ,
30 ± 2 , und 0 gegeneinander verschoben sind. Bei gegenphasi-

ger Ansteuerung sind im gleichen Beispiel Verschiebungen um -7, -5, -3, ..., +5 als auch -6, -4-, -2,, +6 möglich. Aufgrund der größeren zusätzlichen Verschiebung ist dabei ein erweiterter Schärfentiefebereich zu erwarten. Obwohl

5 Fig. 2 ein Beispiel für $n=7$ darstellt, ist die Erfindung nicht auf ungerade Werte für n beschränkt, sondern es kann auch eine geradzahlige Anzahl von Verschiebeelementen eingesetzt werden.

10 Die vorstehend genannten Bilddatenpaare $(\Delta X_{L1}, \Delta X_{Rn}), (\Delta X_{L2}, \Delta X_{Rn-1}), \dots, (\Delta X_{Ln-1}, \Delta X_{R2}), (\Delta X_{Ln}, \Delta X_{R1})$ werden dann jeweils einem von n Elementen EST_1, \dots, EST_n des Disparitätsdetektors DD zur Auswertung zugeführt, um die entsprechende Disparität für das jeweilige Bilddatenpaar zu ermitteln. Es

15 ist zu beachten, daß aufgrund der vereinfachten Darstellung gemäß Fig. 2 nur ein Disparitätsdetektor DD dargestellt ist. Sind jedoch mehrere Verschiebeeinheiten (z.B. jeweils für R-, G-, B- Bilddaten vorhanden), so ist jeder der Verschiebeeinheiten ein entsprechender Disparitätsdetektor zuzuordnen.

20

Für jeweilige Disparitäts-Elemente EST_i eines Disparitätsdetektors DD sind verschiedene Arten denkbar. Beispielsweise kann die Auswertung gradientenbasiert, tensorbasiert, energiebasiert oder aber gemäß dem Reichard'schen Beugungsdetektions-Modell erfolgen. Diese Auswerteprinzipien sind in

25 der Fachliteratur hinreichend beschrieben (so z. B. bei Barron, Fleet & Jepson, Adelson & Berger) und es wird hier nicht mehr ausführlich darauf eingegangen.

Die von den Disparitäts-Elementen EST_i ($1 \leq i \leq n$) ausgegebenen Disparitätswerte werden nachfolgend dem Kohärenzdetektor KD zugeführt, der aus den zugeführten Werten den eigentlichen Disparitätswert bestimmt. Insbesondere im Fall mehrerer Disparitätsdetektoren DD werden alle Ausgänge der jeweiligen Disparitätsdetektoren einem nachfolgenden Kohärenzdetektor KD zugeführt.

Fig. 3A zeigt nunmehr ausführlich ein Funktionsschaltbild eines Disparitäts-Elements EST_i , bei dem die Auswertung auf dem gradientenbasierten Ansatz beruht.

Dabei werden dem jeweiligen Disparitäts-Element EST_i jeweils Bilddaten ΔX_{Li} , ΔX_{Rn+1-i} ($1 \leq i \leq n$) zugeführt. Diese werden dann einer eine bildelementweise (pixelweise) Addition durchführenden Einheit (Bezugszeichen "+") zugeführt, dann einer mit dem Bezugszeichen "1/2" bezeichneten Multiplikationseinheit zugeführt, die eine Multiplikation der addierten Pixelwerte mit einem Faktor 1/2 durchführt, so daß hinsichtlich des jeweils zugeführten Bilddatenpaares eine Mittelwertbildung erfolgt. Darauffolgend durchlaufen die derart verarbeiteten Bilddaten ein Ableitungsfilter DIFF. Ein einfaches Ableitungsfilter DIFF kann beispielsweise Filterkoeffizienten haben, wie sie in der nachfolgenden Tabelle 1 angegeben sind.

Pixelort	x-1	x	x+1
Filterwert	K1 = +0.5	K2 = 0.0	K3 = -0.5

Tabelle 1: Filterkoeffizienten Ableitungsfilter DIFF

Die von diesem Filter ausgegebenen Datenwerte werden einerseits in einer mit dem Bezugszeichen " x^2 " bezeichneten Einheit einer pixelweisen Quadrierung unterzogen, wobei die
5 derart erhaltenen Werte dann einem Mittelungsfiler AVE zugeführt werden.

Andererseits werden die von dem Filter DIFF ausgegebenen Daten einer Multiplikationseinheit (Bezugszeichen "*") zugeführt, wo sie pixelweise mit der mittels einer Subtraktionseinheit (Bezugszeichen "-") bildelementweise erhaltenen Differenz der Daten ΔX_{Li} , ΔX_{Rn+1-i} multipliziert werden. Die
10 derart erhaltenen Werte, die am Ausgang der Multiplikationseinheit zur Verfügung stehen, werden gleichfalls einem
15 weiteren Mittelungsfiler AVE zugeführt.

Für beide Mittelungsfiler AVE können Filterkoeffizienten gewählt werden, wie sie z. B. in der folgenden Tabelle 2 wiedergegeben sind.

20

Pixelort	x-2	x-1	x	x+1	x+2
Filterwert	J1 = +0.0625	J2 = +0.25	J3 = +0.375	J4 = +0.25	J5 = +0.0625

Tabelle 2: Filterkoeffizienten Mittelungsfiler AVE

25 Die an den Ausgängen beider Mittelungsfiler erhaltenen Datenwerte werden schließlich einer Divisionseinheit (Bezugszeichen "+") zugeführt, die an ihrem Ausgang den jeweils

ermittelten Disparitätswert als Ausgangssignal des jeweiligen Disparitätselements EST_i ausgibt.

Da für beide eingesetzten Filter lediglich Filterungen in x-Richtung erforderlich sind, was einer Filterung im seriellen Bilddatenverlauf entspricht, kann ein derartiges Disparitäts-Element vollständig in analoger Technik realisiert werden. Eine digitale Realisierung ist jedoch ebenfalls möglich.

Die derart ermittelten Disparitätswerte, die an den Ausgängen der Disparitätselemente EST_i ausgegeben werden, werden dann dem Disparitäts-Kohärenzdetektor KD zugeführt.

Fig. 3B zeigt ein Blockschaltbild zur Hardwarerealisierung eines vorstehend mit Bezug auf Fig. 3A funktional beschriebenen einzelnen Disparitätselements EST_i . Ein Disparitätselement EST besteht dabei aus zur Synchronisation der gesamten Schaltung mit einem von dem Taktgenerator CLK abgeleiteten Taktsignal TAKT getakteten Schieberegistern $SR1$ bis $SR4$ zur Zwischenspeicherung einzelner Bildelemente, sowie arithmetischen Logikschaltungen (Mittelwertbildner 1: " $\Sigma/2$ ", Subtrahierer 2: "-", Multiplikationseinrichtungen 4, 5: MUL, Summierer 3, 6, 7: " Σ ", Divisionseinrichtung 8: DIV). Dabei ist das in Fig. 3A mit DIFF bezeichnete Filter nunmehr durch das Schieberegister $SR1$, einen Koeffizientenmultiplikationsteil K ($K1, K2, K3$) und den Summierer 3 realisiert. Weiterhin sind die in Fig. 3A mit AVE bezeichneten Filter nunmehr durch das Schieberegister $SR3$, einen Koeffizientenmultiplikationsteil JA (Koeffizienten $J1, J2, J3, J4, J5$) und den Summierer 6, bzw. durch das Schieberegister

SR4, einen Koeffizientenmultiplikationsteil JB (Koeffizienten J1, J2, J3, J4, J5) und den Summierer 7 realisiert. Die Disparität wird am Ausgang der Divisionseinrichtung 8 ausgegeben. Die im Blockschaltbild wiedergegebene Schaltungsanordnung verwirklicht dabei vollständig die in Verbindung mit dem Funktionsschaltbild gemäß Fig. 3A angegebene und beschriebene Arbeits- und Wirkungsweise eines Disparitätselements EST.

Fig. 4A zeigt ein Blockschaltbild für einen Kohärenzdetektor bzw. Disparitäts-Kohärenzdetektor KD gemäß einem ersten Ausführungsbeispiel, wobei als Beispiel ein Kohärenzdetektor KD mit nur vier Eingängen dargestellt ist. Für den in Fig. 2 dargestellten Fall müßte die Schaltung entsprechend auf sieben Eingänge bzw. allgemein auf n Eingänge erweitert werden. Falls mehrere (z) Verschiebeeinheiten mit jeweils zugeordneten Disparitätsdetektoren DD mit je n EST Elementen vorgesehen sind, wäre die Schaltung auf $z \cdot n$ Eingänge zu erweitern.

Die von den (vier nicht dargestellten) EST Elementen EST_i zugeführten und an den Eingängen E1 bis E4 anliegenden Datenwerte der ermittelten Disparitäten werden einer Sortiereinrichtung S1 zugeführt, welche die Datenwerte entsprechend der Größe der Werte sortiert an den Ausgängen A bis D ausgibt. Im dargestellten Fall liegt am Ausgang A der kleinste Wert an, am Ausgang D der größte Wert. Derartige Sortiereinrichtungen können mit aus Vergleichen (Komparatoren) und Multiplexern bestehenden Logikgattern realisiert werden und sind hier nicht im einzelnen erläutert. Jeder der Ausgänge A bis D wird einem Multiplexer

MUX1 zugeführt, während weiterhin je zwei der Ausgänge einem Subtrahierer (" - ") zugeführt werden, um die Differenzen B-A, C-B und D-C der entsprechenden Werte zu ermitteln. Die Differenzen werden einer weiteren Sortiereinrichtung S2 zugeführt, die entsprechend der ersten Einrichtung S1 die Werte der Differenzen betragsmäßig sortiert am Ausgang ausgibt. Dabei ist im vorliegenden Fall nur das kleinste Ergebnis (am Ausgang "<<") weiter zu verarbeiten, welches das Wertepaar der Disparitäten darstellt, die einander am

5 "benachbartsten" sind, also die geringste Abweichung voneinander aufweisen. Das Ergebnis der Sortiereinrichtung S2, also der Wert am Ausgang "<<" wird dann einer auf Gleichheit überprüfenden Einrichtung "=" zugeführt, die das ermittelte Ergebnis mit den dem Sortierer S2 zugeführten Differenzen vergleicht, um zu ermitteln, welcher der Eingangswerte das Ergebnis darstellt. Diese Variante stellt dabei die schaltungstechnisch einfachere Variante dar, denn dies wäre auch aus internen Entscheidungszuständen des Sortierers S2 ermittelbar. Das von der auf Gleichheit überprüfenden Einrichtung erhaltene Ergebnis dient wiederum zur Ansteuerung des Multiplexers MUX1, um die beiden zur Differenz gehörigen Ausgangssignale des Sortierers S1 einem Mittelwertbildner (Bezugszeichen " $\Sigma/2$ ") zuzuführen, der die beiden Werte zur Mittelwertbestimmung addiert und dann

10 15 20 25 30 durch zwei dividiert. Dieser Mittelwert stellt dann das Ergebnis KE dar, also der Kohärenzwert der Vielzahl ermittelter Disparitätswerte.

Eine Variante der vorstehend beschriebenen Schaltung besteht darin, die ermittelten Differenzen mit einem Schwellenwert zu vergleichen, wobei nur die Kandidaten bzw. Werte

weiterverarbeitet werden, die unterhalb des bestimmten Schwellenwerts, bzw. innerhalb eines durch Schwellenwerte bestimmten Fenster-Wertebereichs (z. B. entsprechend dem Fusionsbereich) liegen. Ein nachgeschaltetes Schaltwerk
5 findet dann den größten Cluster benachbarter Kandidaten. Beide Varianten sind möglich und können bezogen auf den jeweiligen Anwendungsfall jeweils die besseren Ergebnisse liefern.

10 Fig. 4B zeigt eine Ausführungsvariante des zuvor beschriebenen Kohärenzdetektors KD, bei der dem Kohärenzdetektor neben Ausgangssignalen der EST Elemente weitere Daten zugeführt werden. Diese ist insbesondere dann einsetzbar, wenn die Bilddaten zeilenverschachtelt bzw. "interlaced" erhalten
15 werden, und sich die gesamte Bildinformation eines Vollbildes z.B. aus zwei Halbbildern zusammensetzt. Dann werden die Disparitätswerte jeweils für Bilddaten eines Halbbildes ermittelt und der entsprechende Kohärenzwert der Disparitäten für Bildpunkte eines Halbbildes ermittelt. Für
20 ein jeweiliges Halbbild werden die Werte KE für die Bildpunkte des Halbbildes in einer Speichereinrichtung MEM (mit einer Speicherkapazität für ein Halbbild) zwischengespeichert, und während der nächsten Halbbildperiode ausgelesen und dem Kohärenzdetektor KD an einem zusätzlich vorzusehenden
25 Eingangsanschluß zugeführt. Der interne Aufbau des Kohärenzdetektors KD ist im wesentlichen identisch zu dem in Verbindung mit Fig. 4A beschriebenen, mit dem Unterschied, daß er ein zusätzliches (das rückgekoppelte) Signal verarbeiten können muß, wofür verschiedene Varianten möglich
30 sind. Insbesondere kann der rückgekoppelte Kohärenz-Disparitätswert bereits dem Sortierer S1 zugeführt werden

und dort berücksichtigt werden, oder aber erst später bei der Mittelwertbildung Einfluß nehmen. In letzterem Fall wäre er dem Mittelwertbildner (Bezugszeichen " $\Sigma/2$ ") zuzuführen. Die in Fig. 4A dargestellte Schaltung ist dann jeweils entsprechend zu modifizieren.

Auf diese Weise kann dann der "wahre" Disparitätswert (Kohärenz-Disparitätswert) für ein Vollbild unter Berücksichtigung beider Halbbilder erhalten werden.

Fig. 4C zeigt ein zweites Ausführungsbeispiel eines Kohärenzdetektors, dessen Funktionsweise auf dem Faltungsprinzip beruht, und Fig. 4D stellt Einzelheiten der Realisierung der Faltungseinrichtung bei dem in Fig. 4C dargestellten Kohärenzdetektor dar.

15

Zum besseren Verständnis soll dazu zunächst das Prinzip der Faltung für den vorliegenden Fall allgemein erläutert werden. Mit dem Kohärenzdetektor soll derjenige Wert zugeführter Eingangswerte bestimmt bzw. ermittelt werden, der möglichst nahe zu einem oder mehreren anderen ist, wie vorstehend bereits ausgeführt. Bei der Faltung werden dabei die erhaltenen Werte miteinander gefaltet, um zu ermitteln, welcher Wert im betrachteten Wertebereich dem Faltungswert bzw. Faltungsergebnis entspricht und somit der Wert ist, der möglichst nahe zu einem oder mehreren anderen ist (das heißt, die Differenzen zwischen dem Faltungswert und den umgebenden sind kleiner oder gleich einem vorbestimmten Wert). Anschaulich kann dies so erläutert werden, daß jedem der miteinander zu faltenden Werte ein zum jeweiligen Wert symmetrisches, geeignetes Intervall überlagert wird. Bei geeigneter Wahl des Intervalls (das für jeden Wert gleich

20

25

30

ist), kommt es zu einer Überlagerung von einzelnen der Intervalle. Der Bereich im betrachteten Wertebereich, in dem die meisten der einzelnen Intervalle einander überlagern (entsprechend der Schnittmenge, die aus der größten Anzahl der einzelnen Mengen besteht) bzw. der Bereich, der den größten Flächenanteil der überlagerten Intervalle aufweist ("größtes Integral") stellt dann das Faltungsergebnis dar.

Fig. 4C gibt eine Hardwarelösung an, die eine derartige Faltungsoperation, die bisher nur zeitaufwendig zum Beispiel mittels digitaler Signalprozessoren ausführbar war, in Echtzeit durchführt.

Dabei werden die von n Disparitäts-Elementen EST_i ($1 \leq i \leq n$) einer Disparitäts-Detektionseinrichtung DD an jeweiligen Signaleingängen zugeführten Eingangssignalwerte zunächst einer Fenster-Begrenzungseinrichtung FB zugeführt. Die Fenster-Begrenzungseinrichtung FB gibt dabei diejenigen der n Eingangssignale aus, deren Eingangssignalwert innerhalb eines vorbestimmten Fenster-Wertebereichs liegt. Dieser ist vorzugsweise ein endlicher Fenster-Wertebereich im Intervall $[-x, \dots, 0, \dots, +x]$ mit $m+1$ Werten im Abstand von $2x/m$, wobei die Wertebereichsgrenzen $\pm x$ durch die Disparitätswerte des Fusionsbereichs um die Fixationsebene herum (mit einer Disparität von Null) bestimmt sind.

Diejenigen der n Eingangssignale, deren Signalwert nicht in diesem Fenster-Wertebereich liegt, werden am entsprechenden Ausgang der Fenster-Begrenzungseinrichtung in einen Zustand (z.B. einen hochohmigen Zustand) versetzt, der dies anzeigt

und eine weitere Verarbeitung der entsprechenden Signale unterbindet.

Lediglich diejenigen der Eingangssignale mit einem Eingangssignalwert innerhalb des Fenster-Wertebereichs werden von einer nachfolgenden Rundungseinrichtung R weiter verarbeitet. Die Rundungseinrichtung R führt dabei eine Rundung der seitens der Fenster-Begrenzungseinrichtung FB ausgegebenen Werte auf den jeweils nächstliegenden der $m+1$ Werte des voreingestellten Fenster-Wertebereichs aus. Somit wird die (unendliche) Vielzahl der seitens der jeweiligen Disparitäts-Elemente EST_i ausgegebenen Werte auf eine endliche Anzahl von $m+1$ Werten abgebildet, die der nachfolgenden Faltung unterzogen werden. Dabei ist Genauigkeit der Faltung durch eine erhöhte Anzahl m steigerbar.

Mithin liegen nun nach der Fenster-Begrenzung durch die Fenster-Begrenzungseinrichtung FB und der Rundung durch die Rundungseinrichtung R maximal n Signale (wenn alle Eingangssignalwerte innerhalb innerhalb des Fenster-Wertebereichs liegen) mit jeweils einem von $m+1$ Signalwerten vor.

Diese werden über eine Adressierungs-Ansteuereinrichtung AA einer Faltungseinrichtung F zugeführt. Dabei wird entsprechend einem jeweiligen Wert der Signale ein diesem zugeordneter Signaleingang der Faltungseinrichtung angesteuert. Das heißt, diejenigen der der Adressierungs-Ansteuereinrichtung AA zugeführten (maximal n) Signale, deren Wert $-x+(k-1)*2x/m$ beträgt, werden somit einem entsprechenden k -ten von $m+1$ Signaleingängen E_k der Faltungseinrichtung F

zugeführt, wobei einem jeweiligen Signaleingang E_k der Faltungseinrichtung F ein Strahlungsemissionselement zugeordnet ist, welches durch die zugeführten Signale angesteuert wird. Dabei sind die jeweiligen Strahlungsemissionselemente
5 derart beschaffen, daß um so mehr Strahlung emittiert wird, je mehr der zugeführten Signale zur Ansteuerung des jeweiligen Strahlungsemissionselements dienen. Anders und vereinfachend dargestellt, emittiert ein Strahlungsemissionselement k doppelt so viel Strahlung, wenn zwei Signale den
10 Wert $-x+(k-1)*2x/m$ haben, als wenn nur ein Signal mit dem entsprechenden Wert zur Ansteuerung des k -ten Strahlungsemissionselements beiträgt.

Die so zur Emission gebrachte Strahlung wird von einer der
15 Anzahl von Werten des Fenster-Wertebereichs entsprechenden Vielzahl von $m+1$ Strahlungsempfangelementen erfaßt. Darüber hinaus ist eine Auswerteeinrichtung AW bereitgestellt, die die Adresse k desjenigen der $m+1$ Strahlungsempfangelemente ermittelt, das die größte Strahlungsintensität er-
20 faßt. Der Wert k dieser Adresse wird an einem Ausgangsanschluß KE abgegeben, wobei der ausgegebene Wert das Ergebnis der Faltung der der Faltungseinrichtung zugeführten Signale darstellt.

25 Fig. 4D stellt Einzelheiten der Faltungseinrichtung F dar. Bei den dargestellten Strahlungsemissionselementen handelt es sich beispielsweise um Licht emittierende Dioden LED_1 , ..., LED_k , ... LED_{m+1} . Dabei kann Licht im sichtbaren Bereich emittiert werden, jedoch sind auch im Infrarotbereich
30 emittierende Strahlungsemissionselemente verwendbar. Die Licht emittierende Dioden sind dabei an der Oberseite eines

transparenten Substrats SUB angeordnet. Bei diesem Substrat kann es sich beispielsweise um ein Glassubstrat handeln.

Den Dioden gegenüberliegend und zugewandt an der Unterseite des Substrats sind in entsprechenden Positionen Strahlungsempfangselemente PD1, ..., PDk, ..., PDk+1 angeordnet. Bei

5 diesen Strahlungsempfangselementen handelt es sich z.B. um Photodioden (z.B. pn-Photodioden, pin-Photodioden, Schottky-Photodioden, etc.) oder um Phototransistoren. Es ist selbstverständlich zu beachten, daß die verwendeten Strahlungsempfangselemente auf den Wellenlängenbereich der eingesetzten Strahlungsemissionselemente abgestimmt sind auch und ihr Arbeitsbereich hinsichtlich der Empfindlichkeit auf die Strahlungsemissionselemente abgestimmt ist.

15 An einem Beispiel sei nachfolgend die Funktionsweise der Faltungseinrichtung F verdeutlicht. Es sei angenommen, daß von m+1 Strahlungsemissionselementen nur die Elemente k-1, k, und k+1 angesteuert werden, da nur die diesen entsprechenden (gerundeten) Werte der Adressierungs-Ansteuereinrichtung zugeführt werden. Ferner sei für dieses Beispiel angenommen, daß jeder der drei Werte nur je einmal von den n Disparitäts-Elementen ermittelt wurde. Das heißt, daß bei diesem Beispiel die Strahlungsemissionselemente k-1, k, k+1 identisch angesteuert werden und folglich die gleiche

20 Strahlungsmenge abgeben. Die jeweils abgegebene Strahlung breitet sich durch das Substrat SUB aus, wird räumlich überlagert und gelangt zu den Strahlungsempfangselementen. Dabei erfaßt das k-te Strahlungsempfangselement die vom k-ten Emissionselement abgegebene Strahlung als auch die von

25 beiden unmittelbar benachbarten (k-1, k+1) Emissionselementen abgegebene Strahlung. Die beiden benachbarten Empfang-

30

selemente $k-1$, $k+1$ empfangen entsprechend jeweils die Strahlung der Emissionselemente $k-1$, k , $k+1$ und $k+1$, k , $k-1$. Aufgrund der räumlichen Ausbreitung und der unterschiedlichen Entfernung ist beim Empfangselement $k-1$ jedoch
5 der Anteil des Emissionselements $k+1$, und beim Empfangselement $k+1$ der Anteil des Emissionselements $k-1$ stärker gedämpft als beim Empfangselement k . Folglich wird das Empfangselement k die höchste Strahlungsintensität erfassen und die Auswerteeinrichtung AW ermittelt den Wert k der
10 Adresse als Ergebnis der Faltung und gibt diesen am Anschluß KE aus. Bei diesem speziellen Beispiel entspricht das Ergebnis der Faltung somit dem Mittelwert.

Bei einer (nicht dargestellten) Variante besteht die Faltungseinrichtung aus einem entsprechenden Array aus $m+1$
15 Zählern. Aufgrund der vorhergehenden Rundung sind einander in Bezug auf ihren Wert benachbarte Disparitätswerte auf den gleichen Wert gerundet, so daß der entsprechende k -te Zähler des Arrays, der dem entsprechenden Disparitätswert
20 zugeordnet ist, entsprechend mehrfach inkrementiert wird, und zwar um die Anzahl der Disparitätswerte (im Cluster von benachbarten Werten), die das gleiche Rundungsergebnis liefern. Die nachfolgende Auswerteeinrichtung gibt dann die Adresse k des Zählers mit dem höchsten Zählerstand als
25 Ergebnis KE aus.

Fig. 5 veranschaulicht die Funktionsweise der vorstehend beschriebenen Disparitäts-Kohärenzdetektoren KD. In der graphischen Darstellung gemäß Fig. 5 sind jeweils auf der
30 Abszisse die Bildelementpositionen bzw. Pixelnummern (bezogen auf das als Referenzbild gewählte erste oder zwei-

te Bild) aufgetragen, und als Ordinate für jedes Bildelement die dem Kohärenzdetektor KD zugeführten n Disparitätswerte, die von den Disparitätselementen EST_1 bis EST_n ausgegeben werden. Im vorliegenden Fall sind beispielsweise n
5 = 7 Disparitätselemente EST_i für einen Disparitätsdetektor DD vorgesehen. Der Disparitätswert von Null ist dabei auf die Fixationsebene bezogen und entspricht der Entfernung der Fixationsebene. Die diesen umgebenden Werte der Disparität im Bereich von z.B. -4 bis +4 stellen dann den Fusionsbereich dar und entsprechen jeweils einer Entfernung,
10 die näher oder entfernter als die Fixationsebene ist.

Für jedes Bildelement werden die vorliegenden n Disparitätswerte mittels des jeweils gewählten Kohärenzdetektors
15 KD gemäß dem ersten oder zweiten Ausführungsbeispiel in Echtzeit verarbeitet bzw. verglichen, und derjenige Disparitätswert als der eigentliche Disparitätswert ausgegeben, der annähernd identisch mit möglichst vielen weiteren der zugeführten Disparitätswerte ist. Genauer heißt das, daß
20 möglichst viele Disparitätswerte in einem Intervall von z. B. etwa 0.2 bis 0.4 um den betreffenden Disparitätswert herum liegen sollen, damit dieser betreffende Disparitätswert der eigentliche Disparitätswert ist. Am einfachsten ist es, wenn für ein bestimmtes Bildelement mehrere Disparitätswerte den gleichen Wert haben. Dieser Fall entspricht
25 in der graphischen Darstellung gemäß Fig. 5 einem Schnittpunkt von zumindest zwei der n Disparitätswerte für ein bestimmtes Bildelement. Die zeilenweise Analyse der n Disparitätswerte für jedes Bildelement einer betreffenden Zeile
30 liefert dann beispielsweise einen Verlauf der eigentlichen Disparität für eine betreffende Zeile des Bildes wie er im

rechten Teil der Fig. 5 dargestellt ist, wobei aus der Gesamtheit der analysierten Bildzeilen dann eine Disparitätskarte in Form eines dritten Bildes ermittelt bzw. dargestellt werden kann (oberes Bild rechts in Fig. 5).

5

Durch die geeignete Auswahl der Anzahl n von Disparitäts-Elementen EST kann die Genauigkeit bzw. Zuverlässigkeit der seitens des Kohärenzdetektors ermittelten wahren Disparität gesteigert werden, da dann mehr Disparitätswerte vorliegen, die bezüglich ihrer Kohärenz ausgewertet werden. Insbesondere berechnet jedes Disparitäts-Element EST die Disparität im gesamten Meßbereich, also vollständig parallel. Mithin entfällt die bei vielen aus dem Stand der Technik bekannten Realisierungen notwendige iterative Annäherung von groben hin zu feinen Meßbereichen, um den tatsächlichen Disparitätswert zu ermitteln.

10

Zudem kann beruhend auf den seitens der Disparitäts-Elemente EST des Disparitätsdetektors DD erhaltenen Werte noch eine Zusatzinformation hinsichtlich der Zuverlässigkeit der ermittelten Disparität gewonnen werden. Das heißt, betrachtet man die Disparitätswerte an einem Punkt der Zeile (vgl. Fig. 5), dann ist die Nähe der Nachbarn um den exakten Disparitätswert ein Maß für die Zuverlässigkeit der ermittelten Disparität. Über das gesamte Bild kann somit eine Zuverlässigkeitskarte ermittelt werden, die in Echtzeit eine Aussage bezüglich der Wahrscheinlichkeit für die Richtigkeit der ermittelten Disparität liefert.

20

25

30

Fig. 6 zeigt ein weiteres Beispiel für von Bildaufnehmern CCDL, CCDDR aufgenommene Bilder "linkes Bild" (a) und

"rechtes Bild" (b) von im Raum angeordneten Objekten. In beiden Bildern befinden sich ein erstes und zweites Objekt vor einem weiteren (dritten) Objekt, welches im Hintergrund der dargestellten räumlichen Szene zu erkennen ist. Aufgrund der Auswertung durch das erfindungsgemäße optische Sensorsystem zur Verarbeitung stereoskopischer Bilder in Echtzeit wird dann eine Disparitätskarte (c) gewonnen, die als Grauwertbild (oder als Farbbild) auf einem Bildschirm darstellbar ist. Gemäß Fig. 6 ist in der Disparitätskarte ein im Vordergrund befindliches Objekt hell dargestellt, ein im mittleren Tiefenbereich befindliches Objekt durch einen der Tiefe entsprechenden hellen bis dunklen Grauwert dargestellt, und das Objekt im Bildhintergrund als das Objekt mit der größten Tiefe ist in der Disparitätskarte annähernd schwarz wiedergegeben. Die im angegebenen Beispiel gemäß Fig. 6 beschriebene Darstellungsform für die Tiefeninformation ist jedoch nicht zwingend vorgeschrieben. Ebenso können Objekte im Vordergrund dunkel wiedergegeben sein, und Objekte im Hintergrund hell wiedergegeben sein.

Darüber hinaus können die Daten der angezeigten Disparitätskarte auch zu Steuerungszwecken eingesetzt werden, indem man diese Daten beispielsweise zur Steuerung von Robotern bei Montagevorgängen heranzieht und einen Soll-Ist-Vergleich mit vorab definierten 3-D-Fertigungsdaten und den aus den Disparitäten ermittelten Tiefeninformationen durchführt.

Unbemannte Fahrzeuge können bei Erreichen und/oder Unterschreiten eines vorbestimmten Minimal-Tiefenwertes zur Verhinderung von Kollisionen durch entsprechende Ansteuerungen

zum Ausweichen veranlaßt werden, wobei dieses Prinzip auch bei der Implementierung passiver und/oder aktiver Abstandswarn- und Antikollisionssysteme in Kraftfahrzeugen einsetzbar ist. Weitere Einsatzmöglichkeiten für das System zeigen

5 sich in der Medizintechnik beispielsweise beim dreidimensionalen Abtasten von Körperkonturen zur Klassifikation von Dysplasien. Insbesondere bestehen Einsatzmöglichkeiten im kieferchirurgischen Bereich oder bei flexiblen oder starren Endoskopen.



Tiedtke - Bühling - Kinne, POB 20 19 18, D - 80019 München

Patentanwälte / Vertreter beim EPA *

Dipl.-Ing. Harro Tiedtke *
Dipl.-Chem. Gerhard Bühling *
Dipl.-Ing. Reinhard Kinne *
Dipl.-Ing. Hans-Bernd Pellmann *
Dipl.-Ing. Klaus Grams *
Dipl.-Biol. Dr. Annette Link
Dipl.-Ing. Aurel Vollnhals *
Dipl.-Ing. Thomas J.A. Leson *
Dipl.-Ing. Hans-Ludwig Trösch *
Dipl.-Ing. Dr. Georgi Chivarov *
Dipl.-Ing. Matthias Grill *
Dipl.-Ing. Alexander Kühn *
Dipl.-Chem. Dr. Andreas Oser *
Dipl.-Ing. Rainer Böckelen *

Bavariaring 4, D-80336 München

11. November 1998

DE 22807

Patentansprüche

1. Kohärenzdetektor mit

einer Vielzahl von n Signaleingängen (EST_i ($1 \leq i \leq n$); E_1, E_2, E_3, E_4), an denen ein jeweiliger Eingangssignalwert anliegt,

einer ersten Sortiereinrichtung (S1) zum Sortieren der n zugeführten Eingangssignalwerte (E_1, \dots, E_4) entsprechend ihrem Wert (A, B, C, D) und zur parallelen Ausgabe der n sortierten Werte,

einer Vielzahl von n-1 Subtrahiereinrichtungen ("−") zur Subtraktion von jeweils zwei benachbarten sortierten Werten ((D-C), (C-B), (B-A)),

einer zweiten Sortiereinrichtung (S2) zum Sortieren der erhaltenen n-1 Differenzen ((D-C), (C-B), (B-A)) hinsichtlich ihres Betrages und zur Ausgabe des kleinsten Differenzbetrags ("<<"),

einer Auswahleinrichtung ("=", MUX1), die anhand des ermittelten kleinsten Differenzbetrags ("<<") das diesem zugehörige Wertepaar der Eingangssignalwerte ausgibt, und

Telefon: 089 - 544690
Telefax(G3): 089 - 532611
Telefax(G4): 089 - 5329095
postoffice@tbk-patent.com

Deutsche Bank (München) Kto. 288 1060 (BLZ 700 700 10)
Dresdner Bank (München) Kto. 3939 844 (BLZ 700 800 00)
Postbank (München) Kto. 670 - 43 - 804 (BLZ 700 100 80)
Dai-ichi-Kangyo Bank (München) Kto. 51 042 (BLZ 700 207 00)
Sanwa Bank (Düsseldorf) Kto. 500 047 (BLZ 301 307 00)

einer Ausgabeeinrichtung (" $\Sigma/2$ "), der das ausgegebene Wertepaar zugeführt wird und die dessen Mittelwert (KE) ausgibt.

- 5 2. Detektor nach Anspruch 1, wobei
die Auswahleinrichtung (" $=$ ", MUX1) eine

Vergleichseinheit (" $=$ "), die durch Vergleichen des kleinsten Differenzbetrags mit den $n-1$ Differenzwerten denjenigen Differenzwert ermittelt, der dem kleinsten Differenzbetrag entspricht, und

10 eine Multiplexereinheit (MUX1) aufweist, die aufgrund der Ansteuerung durch das seitens der Vergleichseinheit bereitgestellte Vergleichsergebnis dasjenige Wertepaar der Eingangssignalwerte mit der geringsten Differenz ausgibt.

15

3. Kohärenzdetektor mit

einer Vielzahl von n Signaleingängen (EST_i), mit $1 \leq i \leq n$, an denen ein jeweiliger Eingangssignalwert anliegt,

20

einer Fenster-Begrenzungseinrichtung (FB) zur Ausgabe derjenigen der n Eingangssignale, deren Eingangssignalwert innerhalb eines voreingestellten, endlichen Fenster-Wertebereichs $[-x, \dots, 0, \dots, +x]$ mit $m+1$ Werten im Abstand von $2x/m$ liegt,

25

einer Rundungseinrichtung (R) zur Rundung der seitens der Fenster-Begrenzungseinrichtung (FB) ausgegebenen Werte auf den jeweils nächstliegenden der $m+1$ Werte des voreingestellten Fenster-Wertebereichs,

30

einer Adressierungs-Ansteuerungseinrichtung (AA), und
einer Faltungseinrichtung (F), wobei

die Faltungseinrichtung (F) eine der Anzahl von Werten des Fenster-Wertebereichs entsprechende Vielzahl von $m+1$ Signaleingängen (E_k , $1 \leq k \leq m+1$) hat, und dem jeweiligen k -ten Eingang durch die Adressierungs-Ansteuerungseinrichtung (AA) diejenigen der n Signale zugeführt werden, deren Wert $-x + (k-1) \cdot 2x/m$ beträgt, welche somit ein entsprechendes k -tes von $m+1$ Strahlungsemissionselementen ansteuern, wobei die so zur Emission gelangte Strahlung von einer der Anzahl von Werten des Fenster-Wertebereichs entsprechenden Vielzahl von $m+1$ Strahlungsempfangelementen erfaßt wird, und

einer Auswerteeinrichtung (AW), die die Adresse k desjenigen der $m+1$ Strahlungsempfangelemente ermittelt, das die größte Strahlungsintensität erfaßt, und den Wert k dieser Adresse an einem Ausgangsanschluß (KE) abgibt, wobei der ausgegebene Wert das Ergebnis der Faltung der der Faltungseinrichtung zugeführten Signale darstellt.

4. Signalverarbeitungsvorrichtung nach Anspruch 3, wobei es sich bei den Strahlungsemissionselementen der Faltungseinrichtung um Licht emittierende Dioden (LED) und bei den Strahlungsempfangelementen um Photodioden (PD) handelt.

5. Signalverarbeitungsvorrichtung nach Anspruch 4, wobei die Licht emittierenden Dioden (LED) an der Oberseite eines transparenten Substrates (SUB) angeordnet sind, und die Photodioden den Licht emittierenden Dioden (LED) gegenüberliegend an der Unterseite des Substrates (SUB) angeordnet sind.

6. Signalverarbeitungsvorrichtung nach Anspruch 5, wobei das transparente Substrat (SUB) ein Glassubstrat ist.

5 7. Bildverarbeitungsvorrichtung, mit

Verschiebe-Einrichtungen (VSEL, VSER; $\Delta X_{L1}, \dots, \Delta X_{Ln}, \Delta X_{R1}, \dots, \Delta X_{Rn}$) zur gegenseitigen Verschiebung von diesen jeweils zugeführten Bilddaten eines ersten Bildes und eines zu diesem unter einem anderen Aufnahmewinkel aufgenommenen zweiten Bildes, wobei die Bilddaten an den Verschiebe-Einrichtungen (VSEL, VSER) jeweils parallel abgegriffen werden und paarweise ($(\Delta X_{L1}, \Delta X_{Rn}), (\Delta X_{L2}, \Delta X_{Rn-1}), \dots, (\Delta X_{Ln-1}, \Delta X_{R2}), (\Delta X_{Ln}, \Delta X_{R1})$) einer nachfolgenden

Disparitäts-Detektionseinrichtung (DD; EST_1, \dots, EST_n) zugeführt werden; wobei die Disparitäts-Detektionseinrichtung (DD) für jedes der zugeführten Bilddatenpaare ($(\Delta X_{L1}, \Delta X_{Rn+1-1})$) mittels eines jeweiligen Disparitäts-Elementes (EST_1, \dots, EST_n) einen räumliche Tiefeninformationen für das jeweilige Bilddatenpaar darstellenden Disparitätswert ermittelt, und die ermittelten Disparitätswerte einer Kohärenz-Detektionseinrichtung (KD) nach einem der Ansprüche 1, 2 oder 3 bis 6 zuführt,

wobei der ausgegebene Disparitätswert (KE) auf jede Verschiebung der Bilddaten hin ermittelt wird und die zugehörige räumliche Tiefeninformation darstellt.

8. Bildverarbeitungsvorrichtung nach Anspruch 7, wobei

die Bilddaten eines Vollbildes während zweier aufeinanderfolgender Halbbildperioden zeilenverschachtelt in

Halbbildern zugeführt werden,

von der Kohärenz-Detektionseinrichtung (KD) während einer ersten Halbbildperiode ermittelte tatsächliche Disparitätswerte in einer Speichereinrichtung (MEM) zwischengespeichert werden, und

5 diese zwischengespeicherten Disparitätswerte der Kohärenz-Detektionseinrichtung (KD) während der darauffolgenden zweiten Halbbildperiode zusätzlich zu den von der Disparitäts-Detektionseinrichtung (DD) erfaßten Disparitätswerten zugeführt werden, um die tatsächlichen Disparitätswerte für
10 das Vollbild zu ermitteln.

9. Bildverarbeitungsvorrichtung nach Anspruch 7, wobei die zugeführten Bilddaten des ersten Bildes und des zweiten Bildes jeweils einer Vorverarbeitungseinrichtung (VVL, VVR)
15 zugeführt werden; und aufgrund der Vorverarbeitung erhaltene unterschiedliche Bilddatenarten der Bilddaten des ersten Bildes und des zweiten Bildes jeweils Verschiebeeinrichtungen (VSEL, VSER) und einer Disparitäts-Detektionseinrichtung (DD) zugeführt werden, die jeweils für eine jeweilige
20 Bilddatenart vorgesehen sind.

10. Bildverarbeitungsvorrichtung nach einem der Ansprüche 7 bis 9 wobei die Bilddaten des ersten und zweiten Bildes seriell und zueinander synchronisiert zugeführt werden.

25 11. Bildverarbeitungsvorrichtung nach Anspruch 10, wobei die Verschiebe-Einrichtungen (VSEL, VSER; ΔX_{L1} , ..., ΔX_{Ln} , ΔX_{R1} , ..., ΔX_{Rn}) die Bilddaten bildpunktweise gegeneinander verschieben.

12. Bildverarbeitungsvorrichtung nach Anspruch 10, wobei die Verschiebe-Einrichtungen ($VSEL$, $VSER$; ΔX_{L1} , ..., ΔX_{Ln} , ΔX_{R1} , ..., ΔX_{Rn}) die Bilddaten in Bruchteilen von Bildpunkten gegeneinander verschieben.

5

13. Bildverarbeitungsvorrichtung nach Anspruch 11 oder 12, wobei die Bilddaten als analoge Bildsignale zugeführt werden, die Verschiebeeinrichtungen als analoge Laufzeitketten ausgeführt sind und die gegenseitige Verschiebung der Bildelemente durch Einstellung der entsprechenden Laufzeit erfolgt.

10

14. Bildverarbeitungsvorrichtung nach Anspruch 11, wobei die Bilddaten als digitale Bildsignale zugeführt werden und die Verschiebeeinrichtungen als getaktete Schieberegister ausgeführt sind.

15

15. Bildverarbeitungsvorrichtung nach Anspruch 12, wobei die Bilddaten als digitale Bildsignale zugeführt werden und die Verschiebeeinrichtungen als Filter ausgeführt sind, die Bilddatenwerte zwischen benachbarten Bildelementen interpolieren.

20

16. Bildverarbeitungsvorrichtung nach Anspruch 7, wobei ein jeweiliges Disparitäts-Element (EST_1 , ..., EST_1 , ..., EST_n , $1 \leq i \leq n$) den ermittelten Disparitätswert auf einer gradientenbasierten Verarbeitung beruhend ermittelt.

25

17. Bildverarbeitungsvorrichtung nach einem der Ansprüche 7 bis 16, wobei eine Anzeigevorrichtung vorgesehen ist, um

30

die tatsächlichen Disparitätswerte (KE) als die Tiefeninformation darstellende Disparitätskarte auszugeben.



Tiedtke - Bühling - Kinne, POB 20 19 18, D - 80019 München

Patentanwälte / Vertreter beim EPA *

Dipl.-Ing. Harro Tiedtke *
Dipl.-Chem. Gerhard Bühling *
Dipl.-Ing. Reinhard Kinne *
Dipl.-Ing. Hans-Bernd Pellmann *
Dipl.-Ing. Klaus Grams *
Dipl.-Biol. Dr. Annette Link
Dipl.-Ing. Aurel Vollnhals *
Dipl.-Ing. Thomas J.A. Leson *
Dipl.-Ing. Hans-Ludwig Trösch *
Dipl.-Ing. Dr. Georgi Chivarov *
Dipl.-Ing. Matthias Grill *
Dipl.-Ing. Alexander Kühn *
Dipl.-Chem. Dr. Andreas Oser *
Dipl.-Ing. Rainer Böckelen *
Bavariaring 4, D-80336 München

11. November 1998

DE 22807

Zusammenfassung

(Fig. 4A)

Kohärenzdetektor mit

einer Vielzahl von n Signaleingängen (**EST_i** ($1 \leq i \leq n$);
E1, E2, E3, E4), an denen ein jeweiliger Eingangssignalwert
anliegt,

einer ersten Sortiereinrichtung (**S1**) zum Sortieren der n
zugeführten Eingangssignalwerte (**E1, ..., E4**) entsprechend ihrem
Wert (**A, B, C, D**) und zur parallelen Ausgabe der n sortierten
Werte,

einer Vielzahl von n-1 Subtrahiereinrichtungen ("**-**")
zur Subtraktion von jeweils zwei benachbarten sortierten Werten
(**(D-C), (C-B), (B-A)**),

einer zweiten Sortiereinrichtung (**S2**) zum Sortieren
der erhaltenen n-1 Differenzen (**(D-C), (C-B), (B-A)**)
hinsichtlich ihres Betrages und zur Ausgabe des kleinsten
Differenzbetrags ("**<<**"),

einer Auswahleinrichtung ("**=**", **MUX1**), die anhand des
ermittelten kleinsten Differenzbetrags ("**<<**") das diesem
zugehörige Wertepaar der Eingangssignalwerte ausgibt, und

einer Ausgabeeinrichtung ("**Σ/2**"), der das ausgegebene
Wertepaar zugeführt wird und die dessen Mittelwert (**KE**)
ausgibt.

FIG. 1A

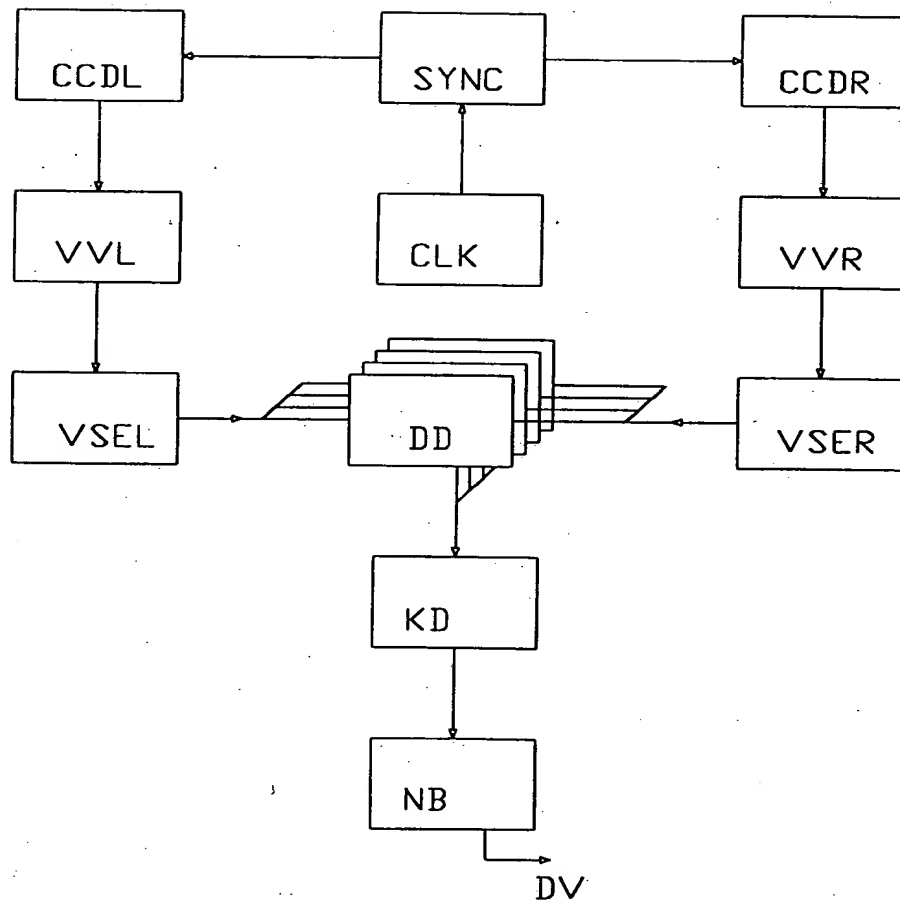


FIG. 1B

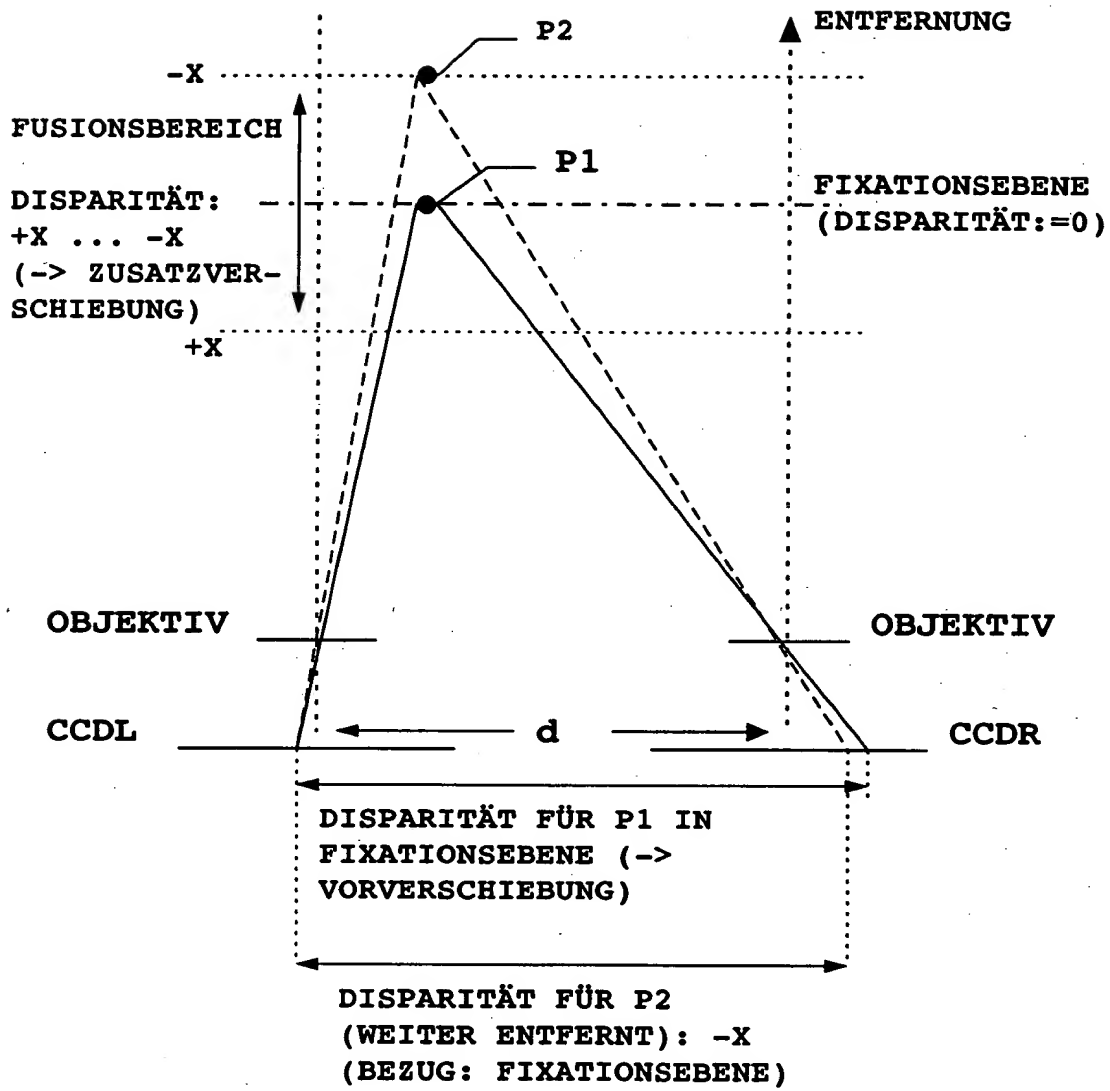


Fig. 2

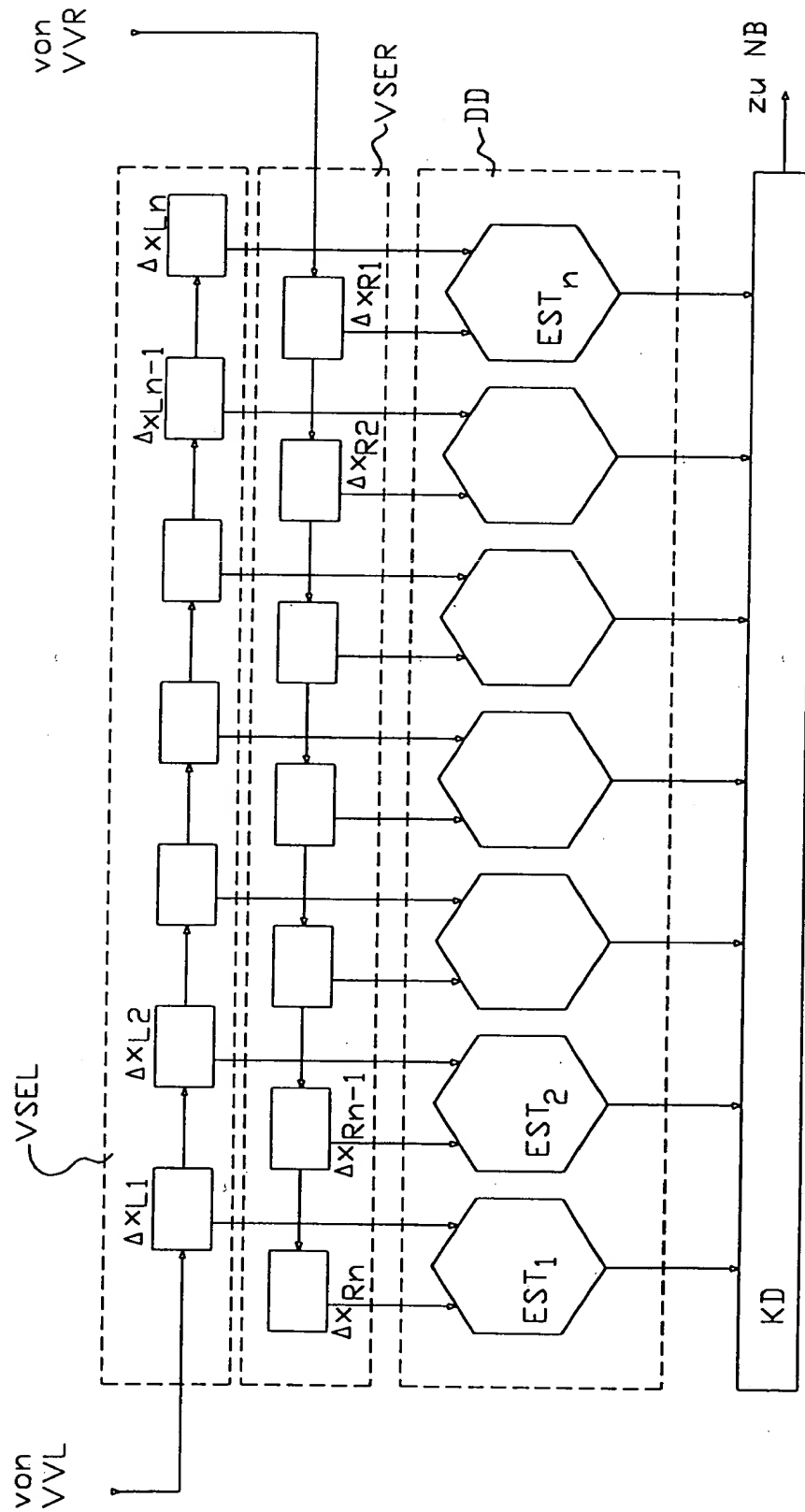


Fig. 3A

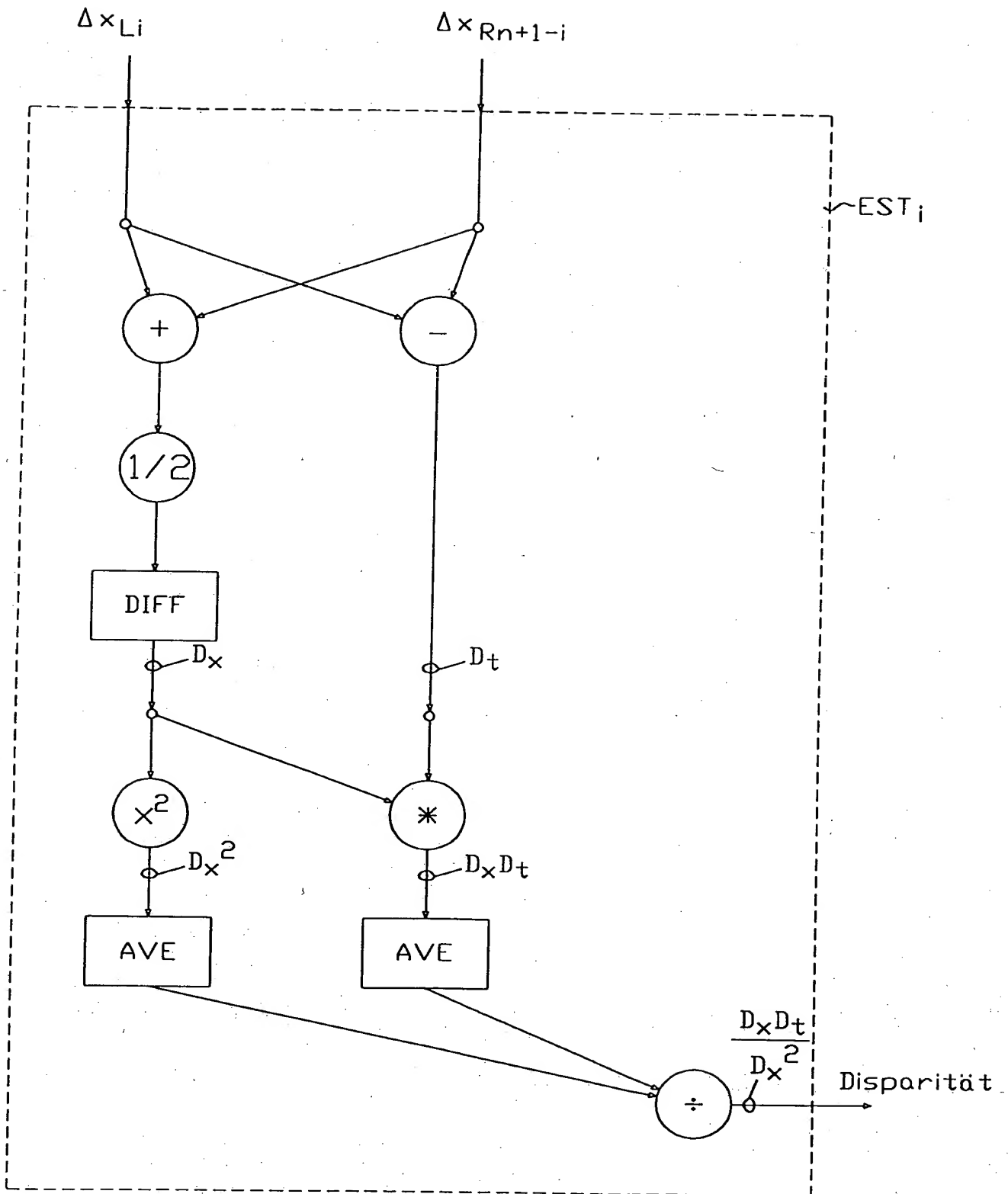


Fig. 3B

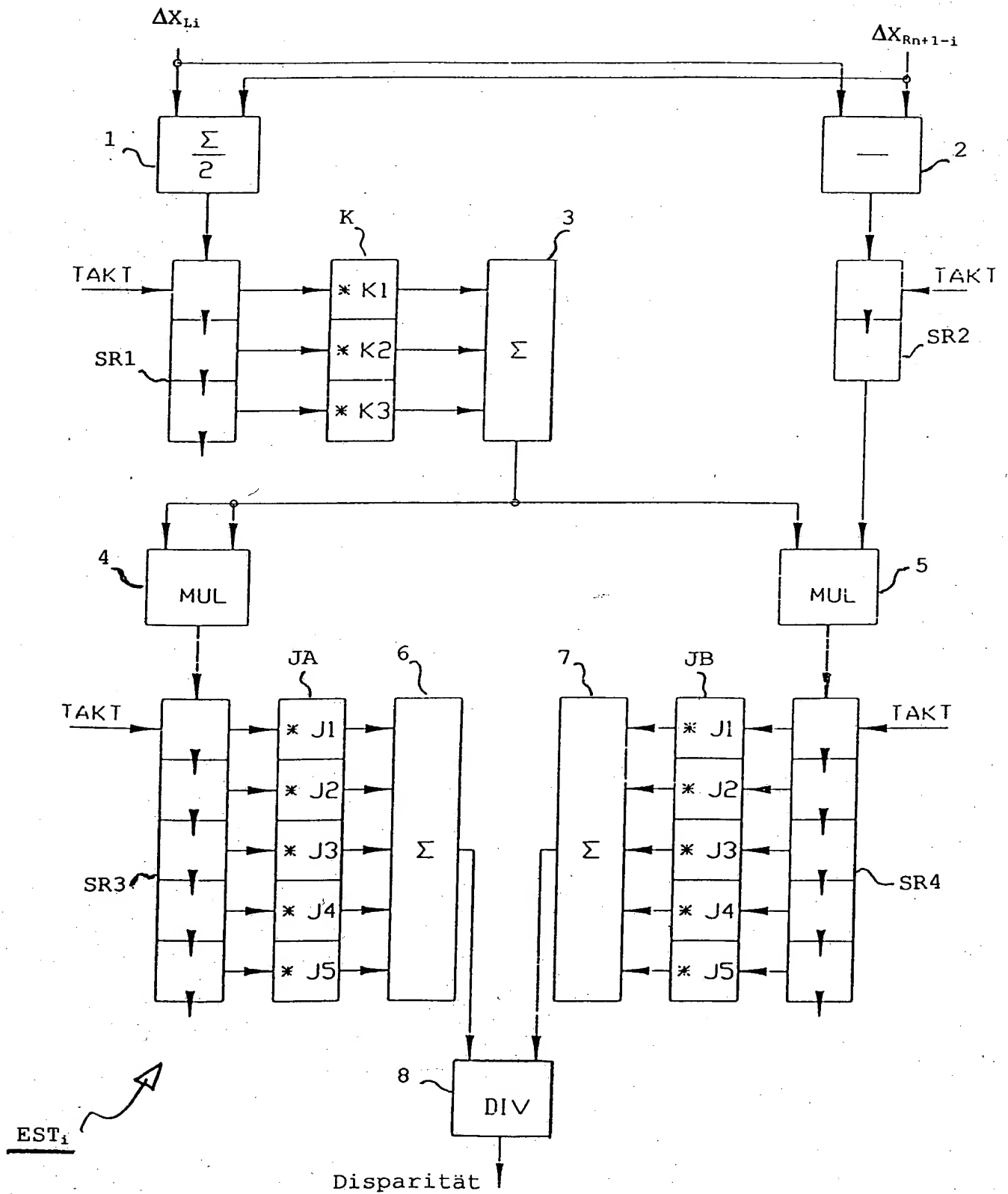


Fig. 4A

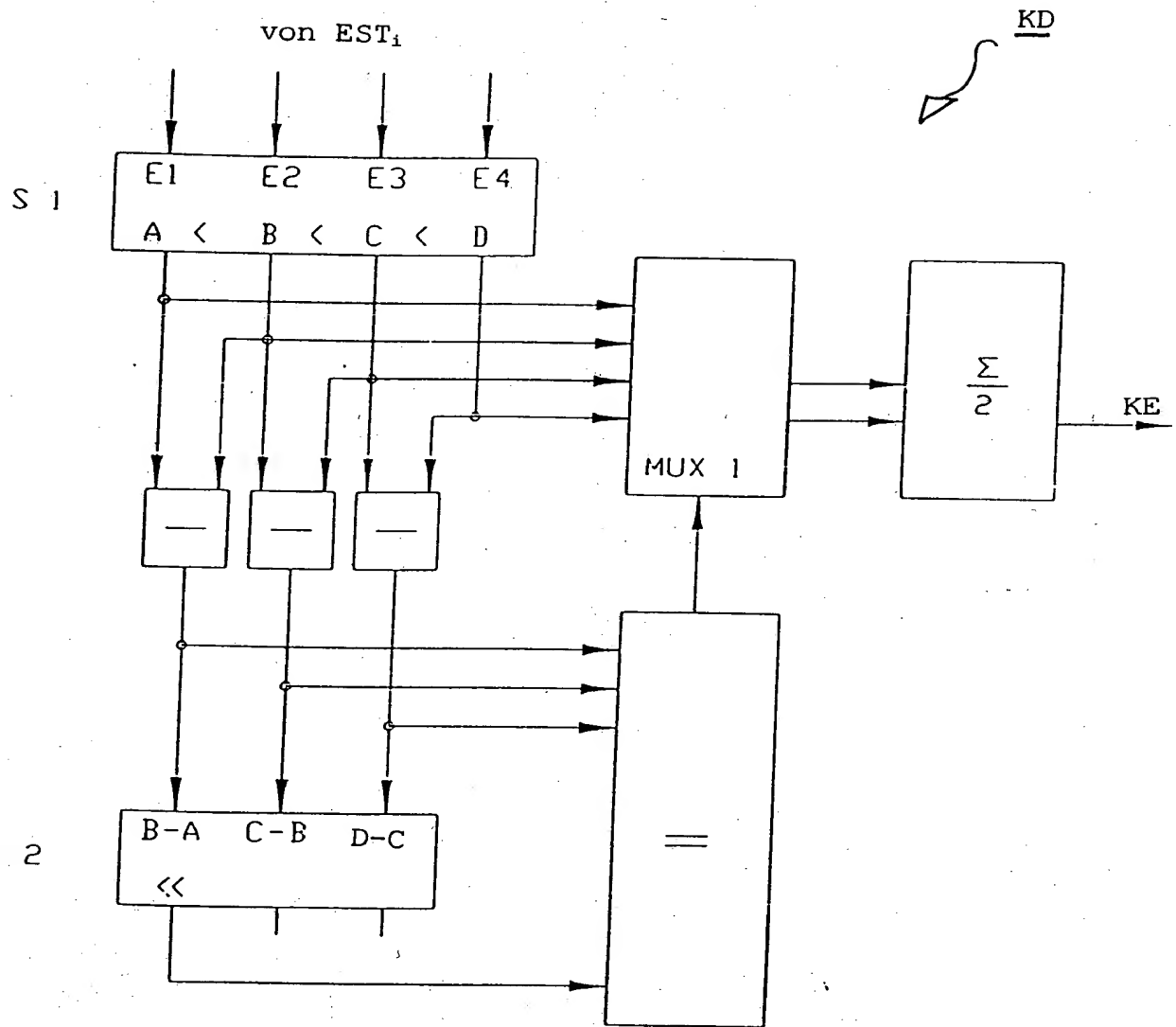


Fig. 4B

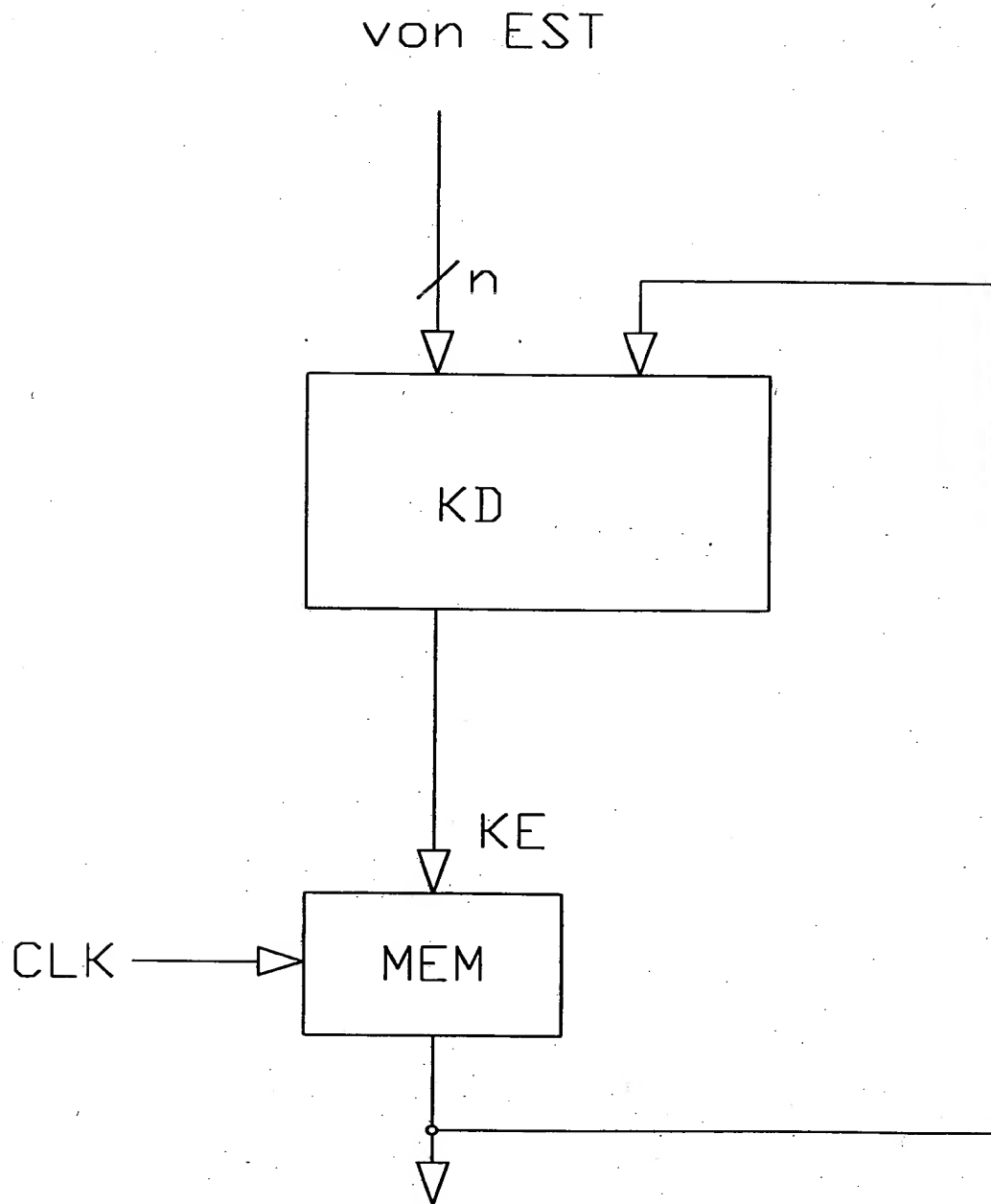


FIG. 4C

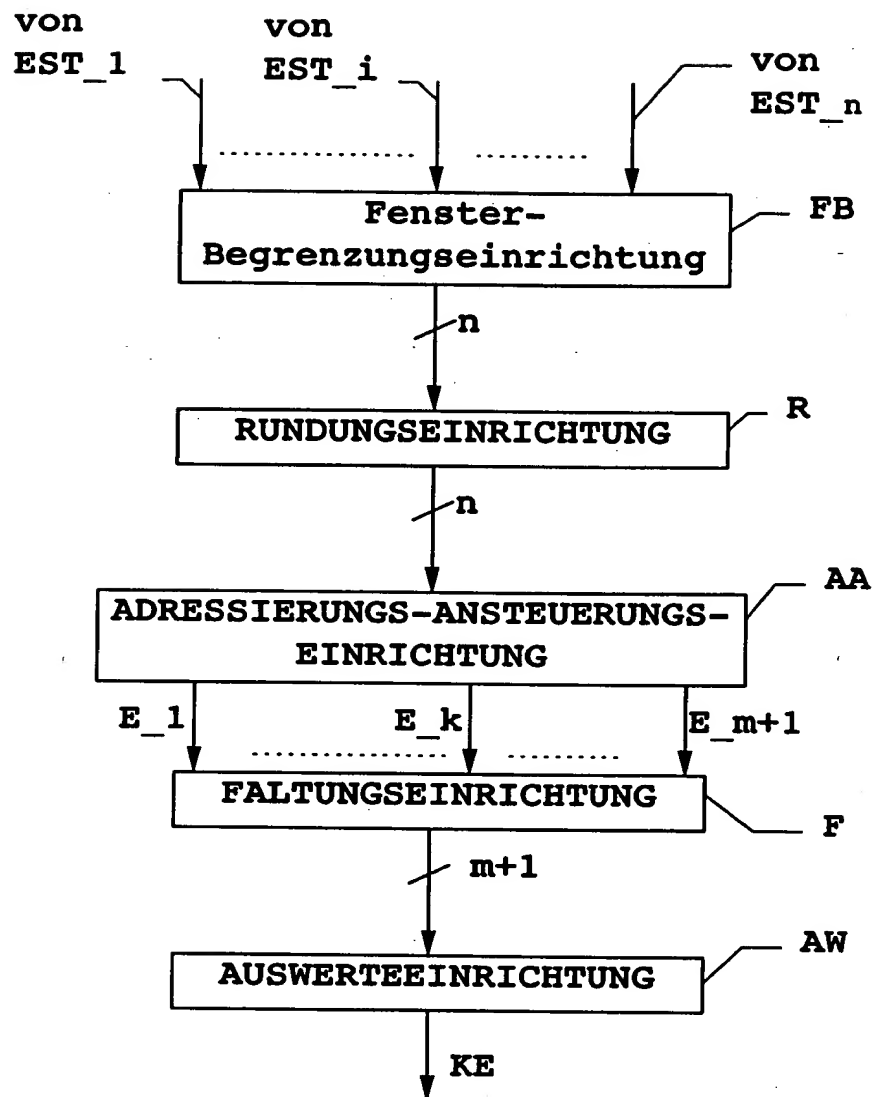


FIG. 4D

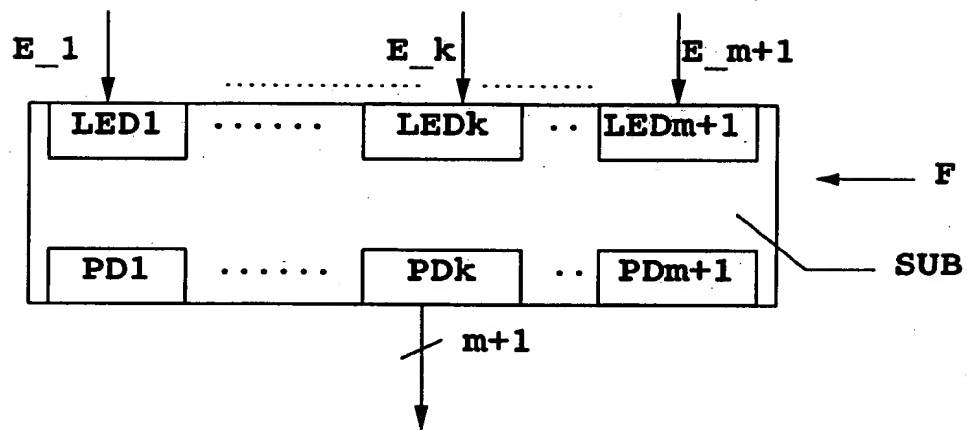


Fig. 5

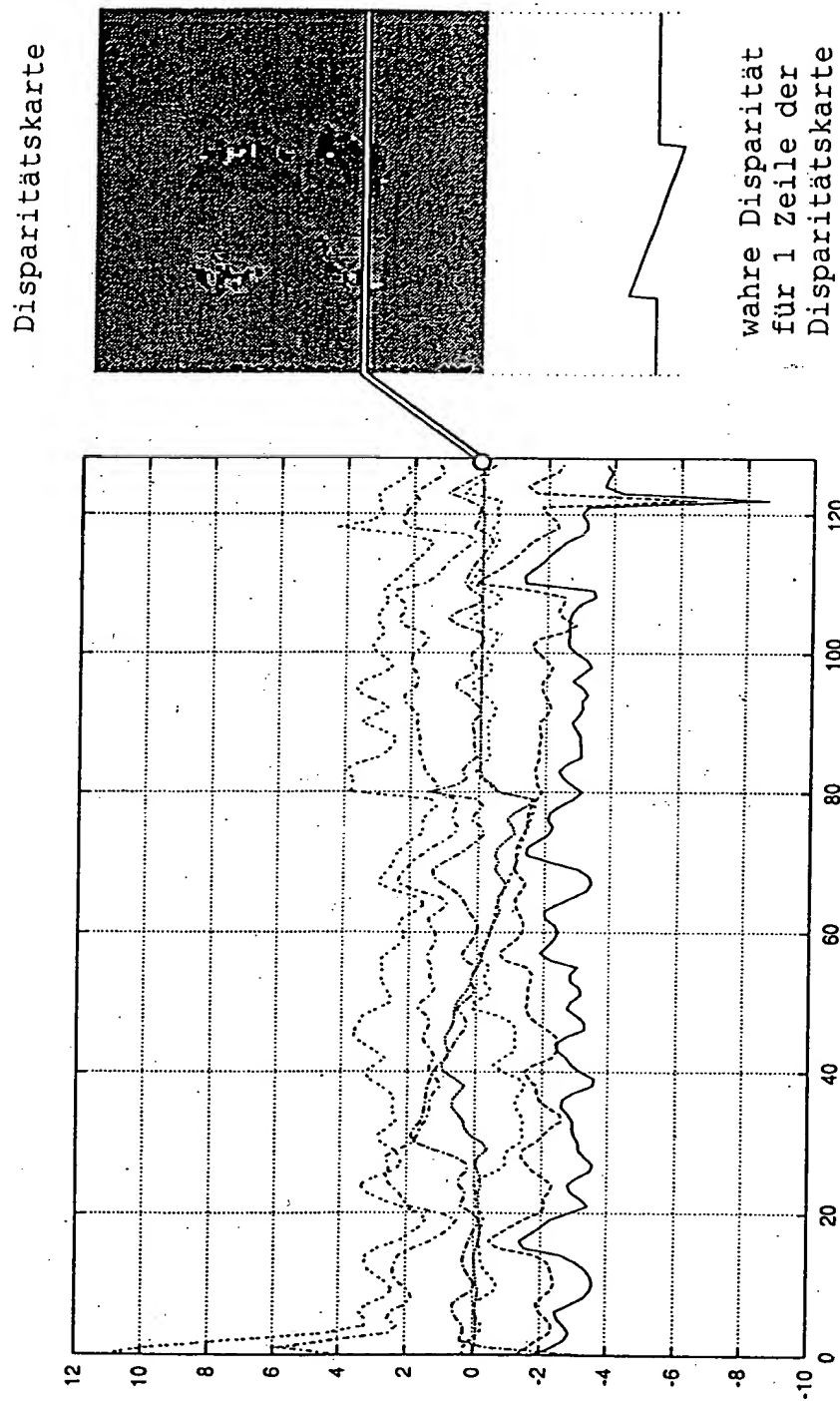
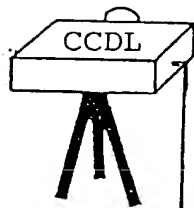
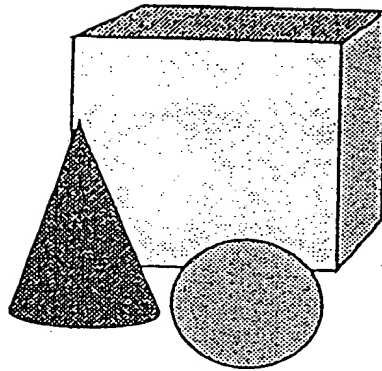
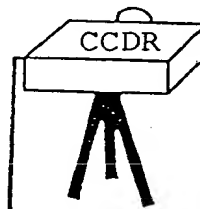
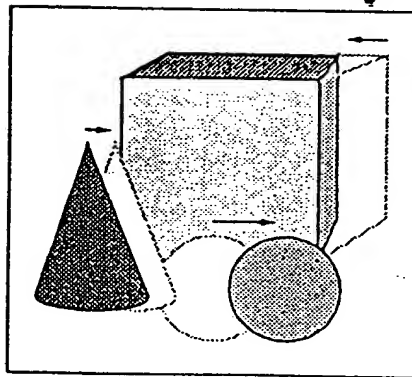


Fig. 6

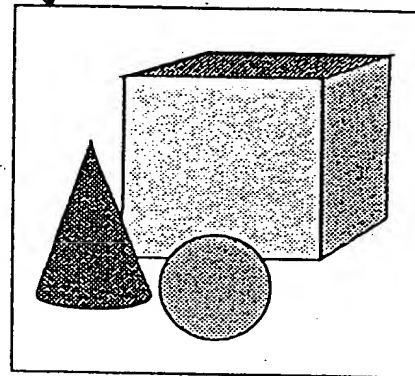
Objekt



linkes Bild (a)



rechtes Bild (b)



Disparitätskarte (c)

